

Nuklearna fizika

- vježbe -

2. Nukleosinteza

Korisne konstante

$$u = a.m.u. = 931.50 \text{ MeV} / c^2$$

$$m_p = 1.00728 \text{ u} = 938.28 \text{ MeV} / c^2$$

$$m_n = 1.00867 \text{ u} = 939.57 \text{ MeV} / c^2$$

$$m_d = 2.01355 \text{ u} = 1875.63 \text{ MeV} / c^2$$

$$m_\alpha = 4.001506 \text{ u} = 3727.41 \text{ MeV} / c^2$$

$$m_e = 511.003 \text{ keV} / c^2$$

$$h = 4.1357 \cdot 10^{-21} \text{ MeV} \cdot \text{s}$$

$$\hbar c = 197.319 \text{ MeV} \cdot \text{fm}$$

$$k = 8.6174 \cdot 10^{-5} \text{ eV} / \text{K}$$

Korisni linkovi

Baze podataka

[A=4-20](#)

[Nuclear Levels and Gammas Search](#)

[National Nuclear Data Center](#)

[Atomic Masses, Q-values, ...](#)

[EXFOR: Exp. Nucl. Reaction Data](#)

[LANL Q-values](#)

[LUND Q-value calculator](#)

[BNL Q-value calculator](#)

Traženje članaka

[Nuclear Science References](#)

[The Isotope Explorer NSR Server](#)

[KEK preprints](#)

[SLAC SPIRES](#)

[CERN - CDS Search](#)

[arXiv - Nuclear Theory](#)

[arXiv - Nuclear Experiment](#)

[Web of Science](#)

A=4-20 Level Diagrams (GIF) - Microsoft Internet Explorer

File Edit View Favorites Tools Help



Address <http://www.tunl.duke.edu/nucldata/figures/gifchart.shtml>



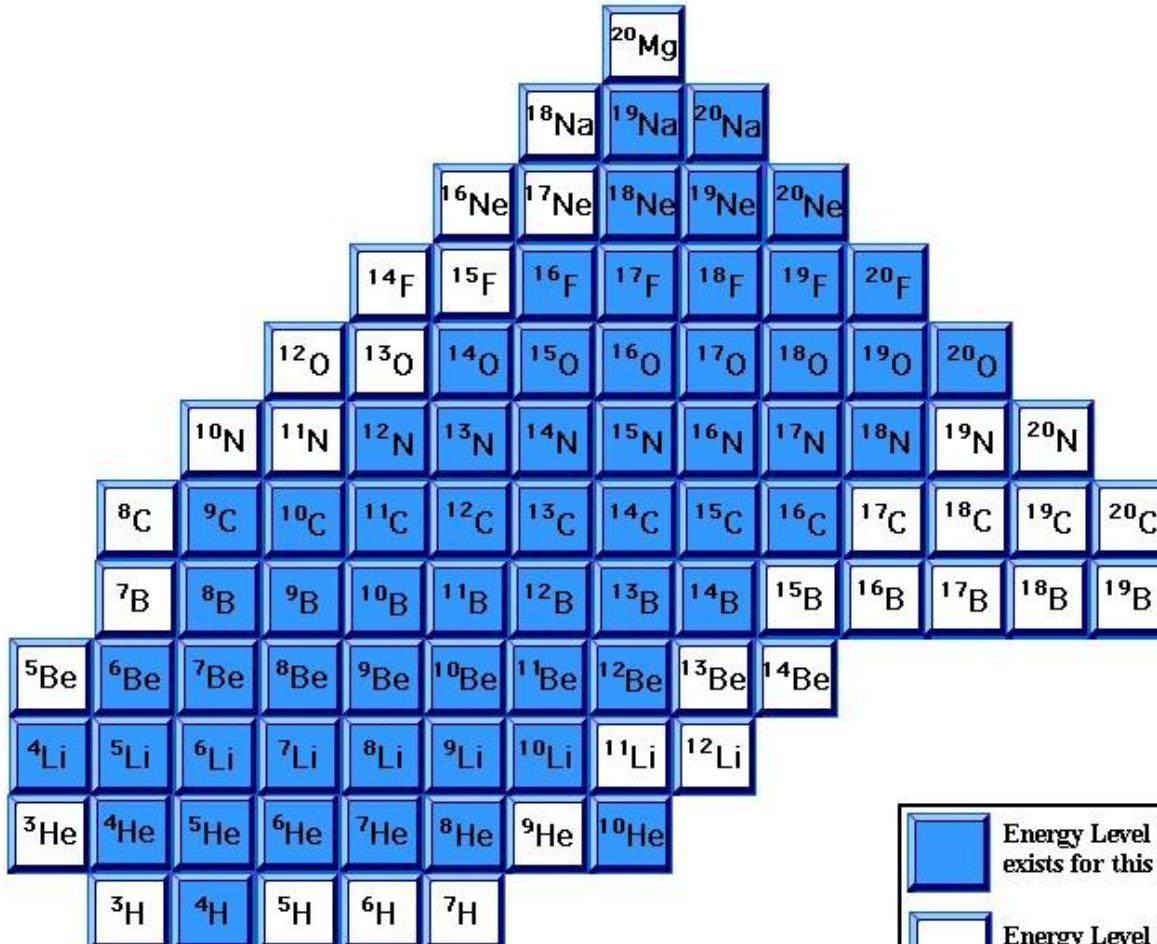
7	8
9	10
11	12
13	14
15	16
17	18
19	20

Group Info
Publications
HTML
General Tables
Update Lists
Level Diagrams
Tables of EL's
ENSDF
Thermal N Capt.
NuDat at BNL
Palm Pilot
Useful Links
Citation Examples

Home
SiteMap
Directory
Email

Search:

Click on the button corresponding to the nucleus (or mass chain) for which you would like to see a level diagram



Energy Level Diagram exists for this nuclide

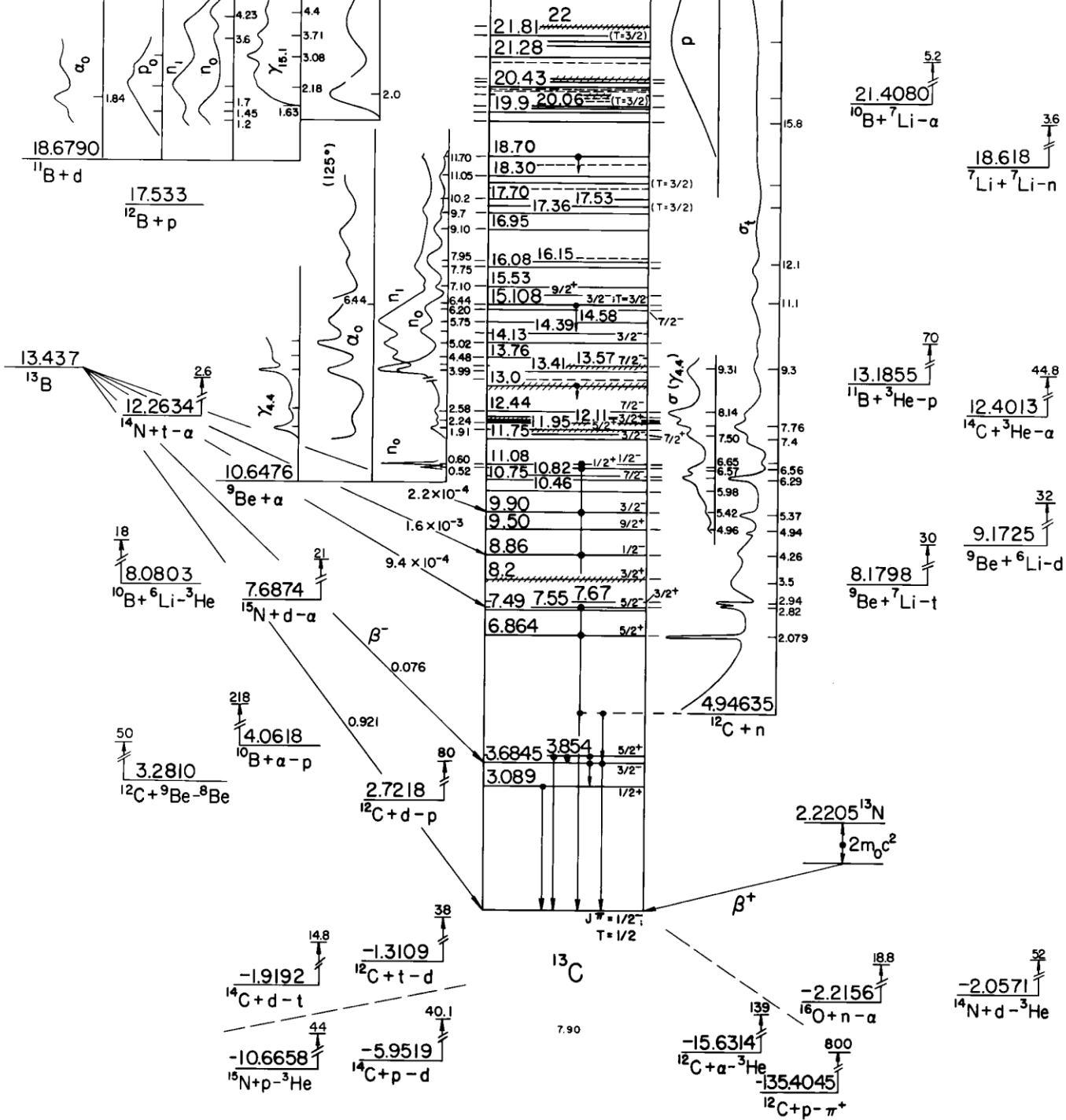
Energy Level Diagram not exist for this nuclide



http://www.tunl.duke.edu/nucldata/figures/09figs/09_05.gif



Internet





Mass data ? About

Mass and Q-value data**Mass number:** **Element:** or **Z:** **Audi-Wapstra atomic masses**

Nuclide	Z	N	Mass excess (keV)	Binding energy (keV)	Mass (μ)
^8Be	4	4	4941.662 ± 0.035	56499.506 ± 0.037	$8.005305.094 \pm 0.$

Value derived from systematical trends (see publications)

* Value 'not calculable'

Tablice izotopa

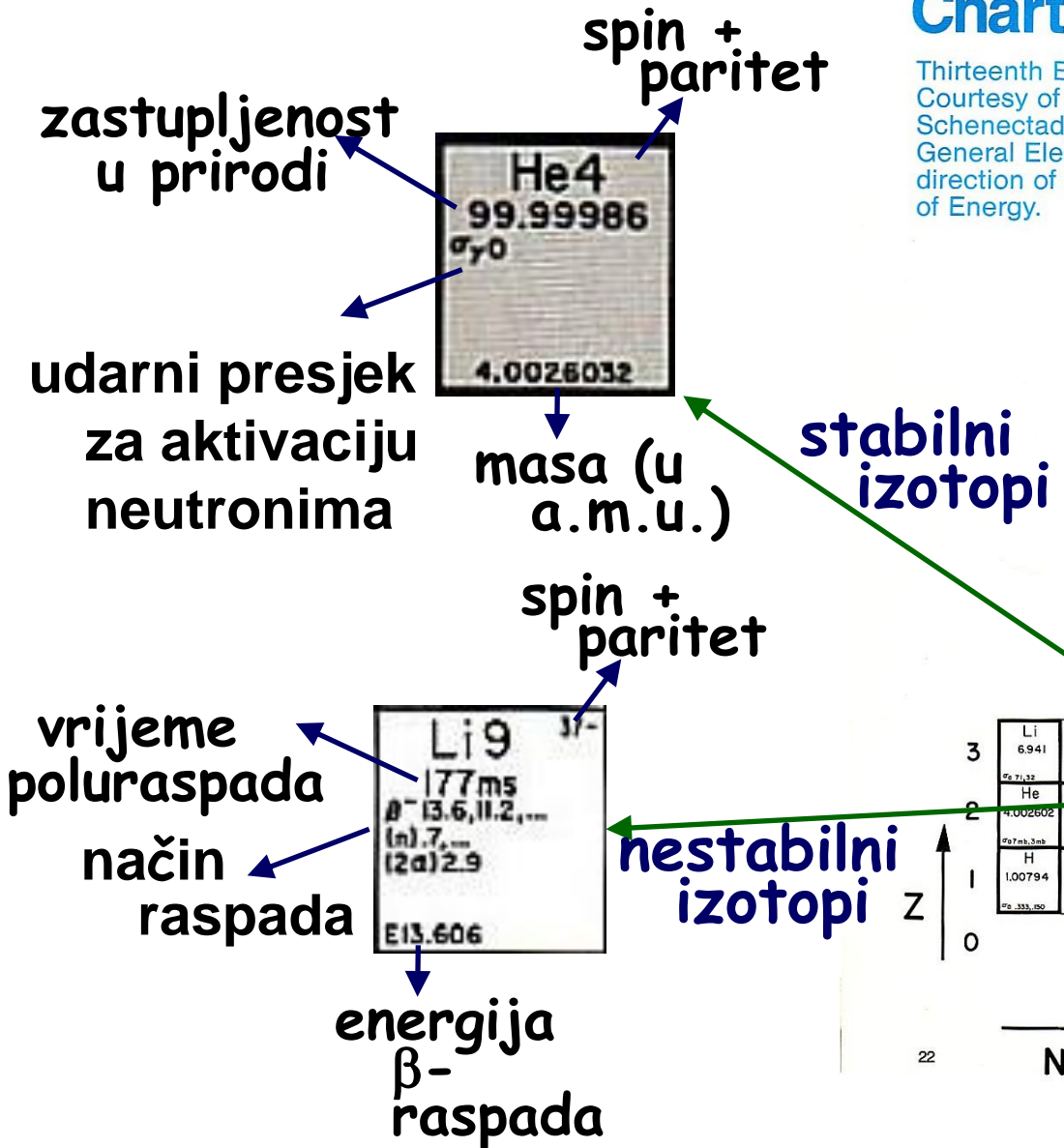
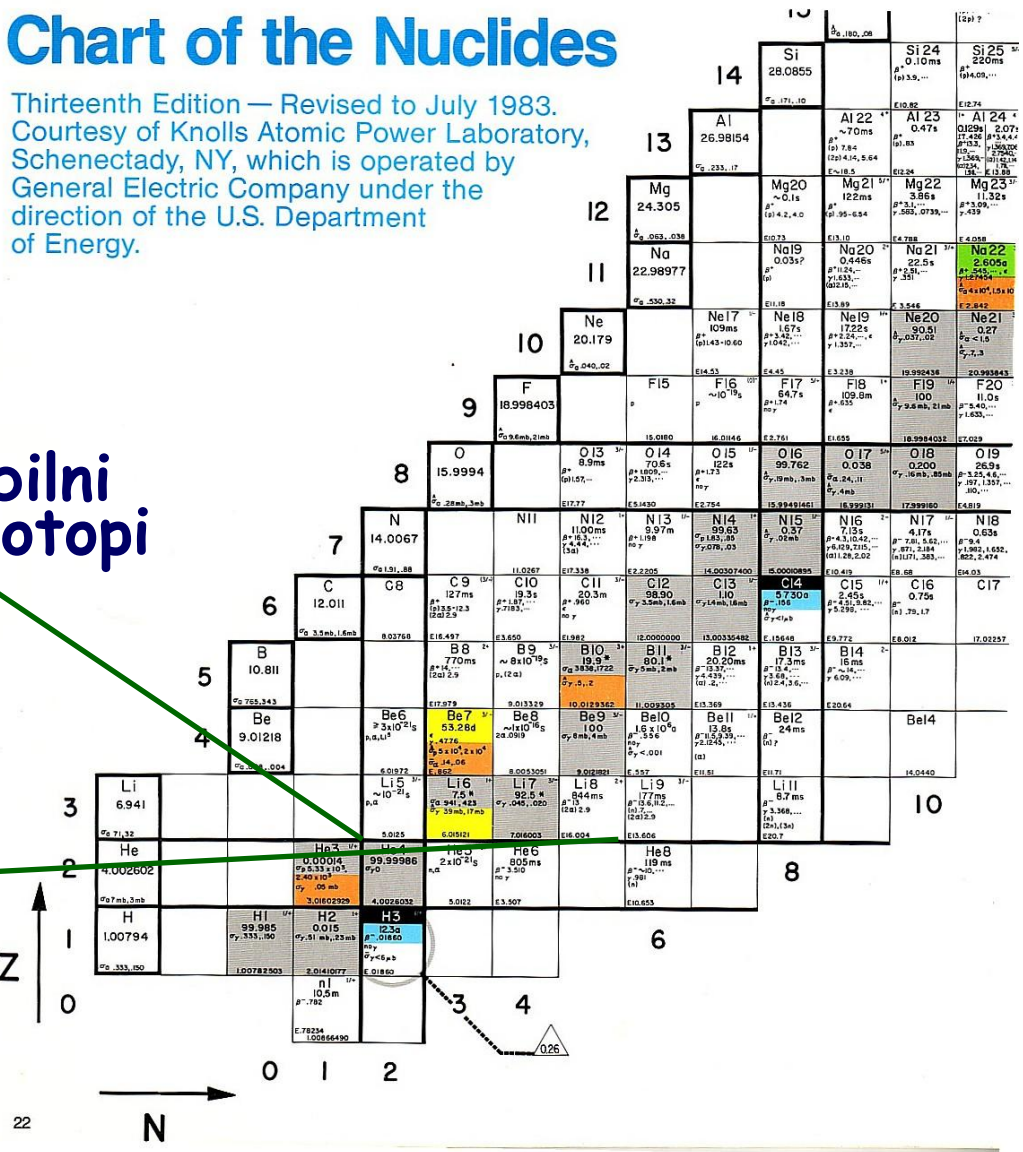


Chart of the Nuclides

Thirteenth Edition — Revised to July 1983.
Courtesy of Knolls Atomic Power Laboratory,
Schenectady, NY, which is operated by
General Electric Company under the
direction of the U.S. Department
of Energy.



Zadatak 9. Izračunajte odbojnu kulonsku potencijalnu energiju za:

- a) dva protona na udaljenosti 1 fm,
- b) jezgru zlata ($Z=79$) i α -česticu na udaljenosti 10 fm i
- c) dvije jezgre srebra ($Z=47$, $A=107$) koje su vrlo blizu, ali se ne preklapaju

Rješenje 9.

$$V = \frac{Z_1 Z_2 e^2}{d}$$

$$V \text{ (MeV)} = \alpha \hbar c \frac{Z_1 Z_2}{d} = \frac{197.3}{137.04} \text{ (MeV fm)} \frac{Z_1 Z_2}{d \text{ (fm)}} = 1.44 \text{ (MeV fm)} \frac{Z_1 Z_2}{d \text{ (fm)}}$$

- a) $Z_1 = Z_2 = 1$, $d = 1 \text{ fm} \Rightarrow V = 1.44 \text{ MeV}$
- b) $Z_1 = 79$, $Z_2 = 2$, $d = 10 \text{ fm} \Rightarrow V = 22.7 \text{ MeV}$
- c) $R = 1.2 \times A^{1/3} \text{ fm}$, $d = 2R = 11.4 \text{ fm}$

$$Z_1 = Z_2 = 47 \Rightarrow V = 279.0 \text{ MeV}$$

Zadatak 10. Izrazite "kt" preko "nuklearnih" jedinica (T_6 , MeV)

Rješenje 10.

$$\begin{aligned} kT &= 1.38 \cdot 10^{-23} T \text{ J} = \\ &= \frac{1.38 \cdot 10^{-23}}{1.6 \cdot 10^{-19} \cdot 10^3} 10^6 \text{ keV} = \\ &= 8.62 \cdot 10^{-2} T_6 \text{ keV} \end{aligned}$$

- Zašto je to bitno? Jer je raspodjela po brzina u nerelativističkoj, nedegeneriranoj plazmi dana Maxwell-Boltzmannovom formulom:

$$\phi(v) = 4\pi \left(\frac{\mu}{2\pi kT} \right)^{3/2} v^2 \exp\left(-\frac{\mu v^2}{2kT} \right) \quad \text{gdje je} \quad \mu = \frac{m_p m_T}{m_p + m_T}$$

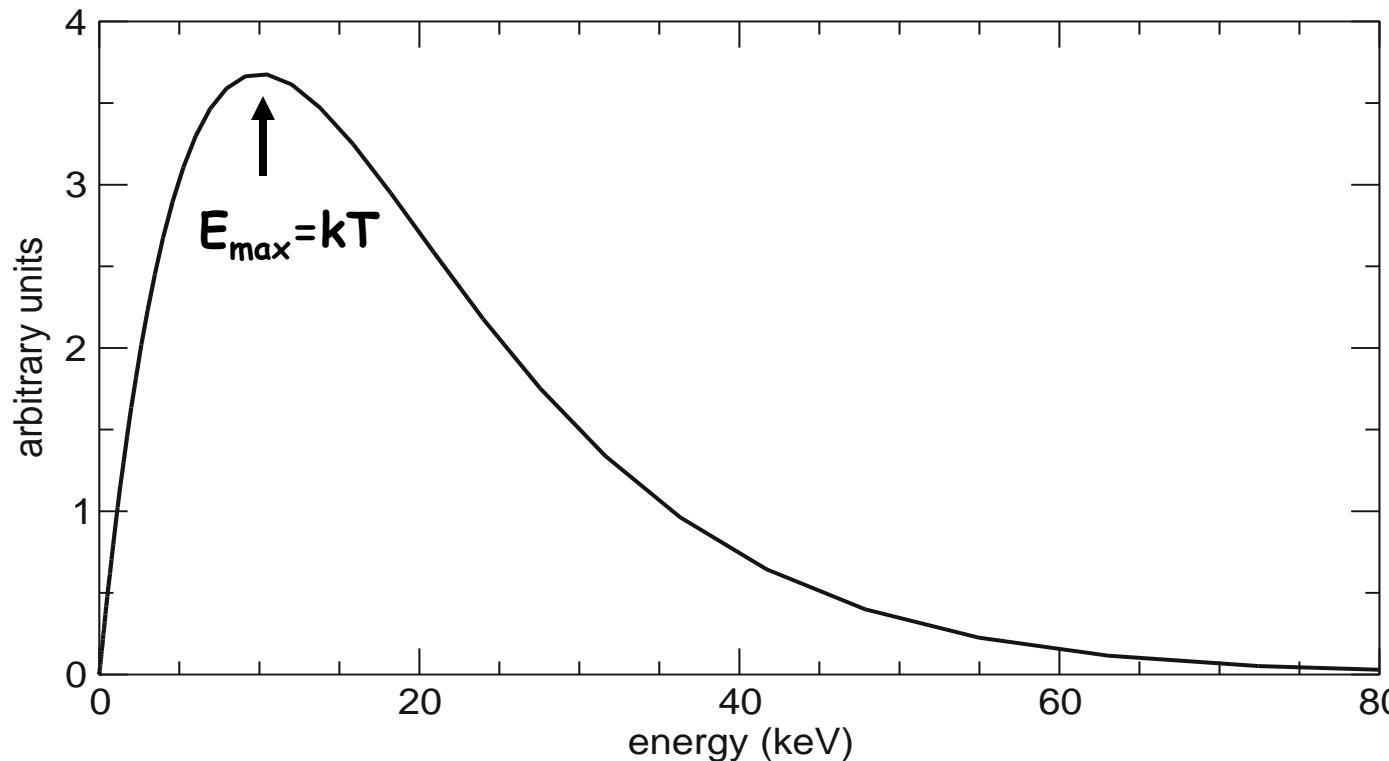
- za središte Sunca:

$$T = 15 \cdot 10^6 \text{ K} \Rightarrow kT \approx 1 \text{ keV}$$

Termonuklearne reakcije

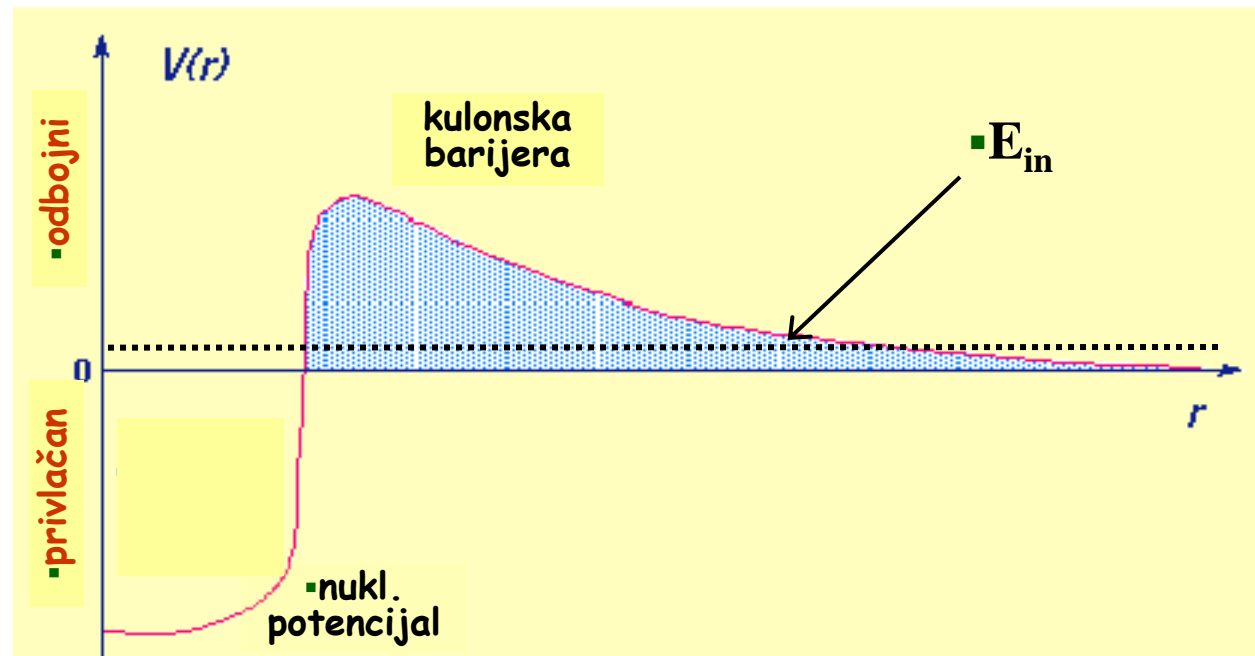
- u zvijezdama se ioni nalaze u termičkoj ravnoteži, pa je njihova raspodjela po brzinama dobro opisana Maxwell-Boltzmannovim izrazom:

$$\Phi(v) = 4\pi \left(\frac{\mu}{2\pi kT} \right)^{3/2} v^2 \exp\left(-\frac{\mu v^2}{2kT}\right) \quad \text{gdje je} \quad \mu = \frac{m_a m_A}{m_a + m_A}$$



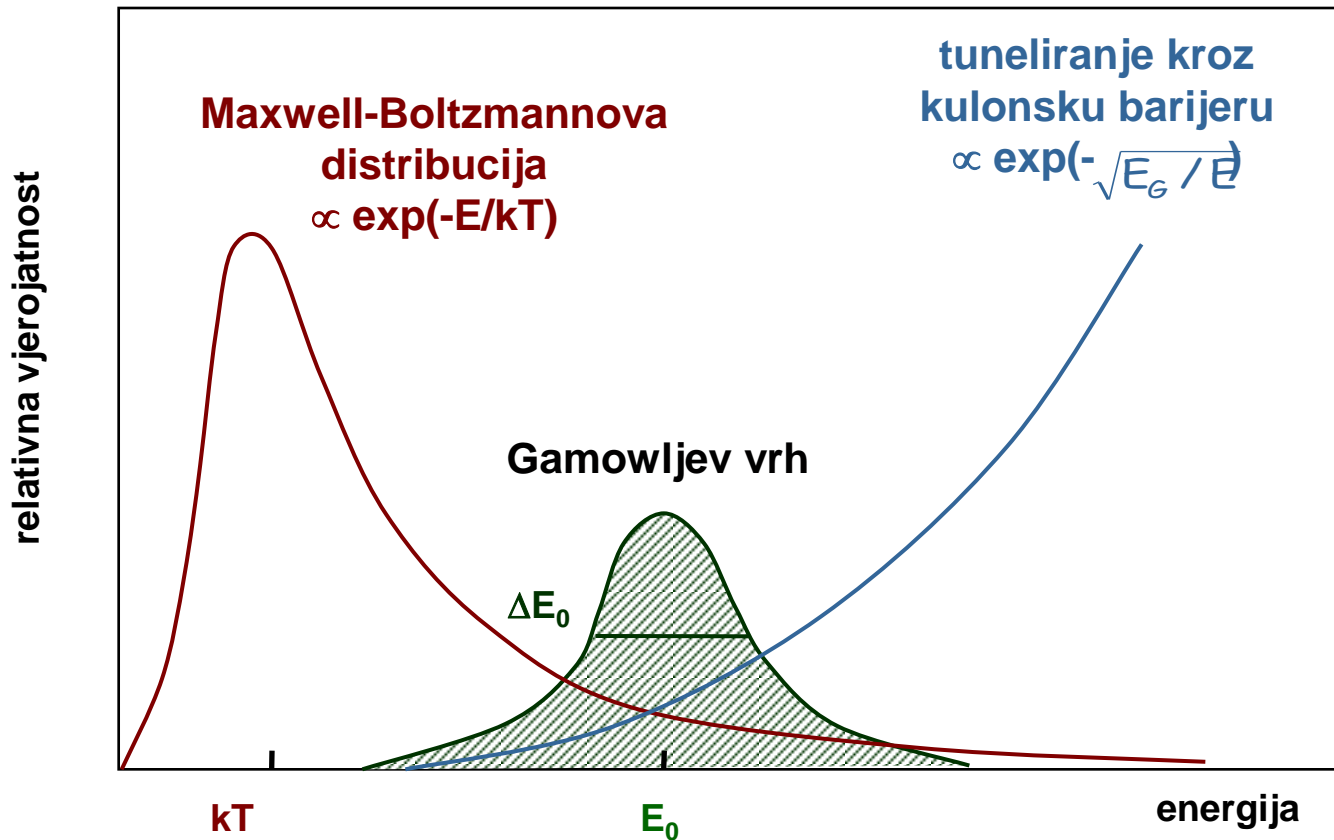
Nuklearne reakcije: energije

- u zvijezdama nema slobodnih neutrona jer su β -nestabilni ($T_{1/2} = 10 \text{ min}$)
- fuzija se u zvijezdama odvija između nabijenih jezgara!
- nuklearna sila je jaka, ali vrlo kratkog dosegaa
- da bi se nabijene jezgre uopće dovoljno približile da bi nuklearna sila među njima počela djelovati, moraju savladati **kulonsku barijeru**



Zadatak 11. Izvedite izraz za Gamowljevu energiju, tj. energiju na kojoj je vjerojatnost odigravanja termonuklearnih reakcija maksimalna.

Rješenje 11.



Rješenje 11.

Brzina odvijanja reakcije dana je s:

$$r = N_x N_Y \langle \sigma(v) v \rangle$$

Vjerojatnost reakcije možemo faktorizirati kao:

$$P(\text{reakcije}) = P(\text{tuneliranja}) \cdot P(\text{apsorpcije})$$

$$P(\text{tuneliranja}) = e^{-\frac{4\pi}{h} \int \left[2m \left(\frac{Z_1 Z_2 e^2}{r} \right) \right]^{1/2} dr}$$

$$P(\text{tuneliranja}) = e^{-2\pi\eta}$$

gdje je η Sommerfeldov parametar definiran s:

$$\eta = \frac{2\pi Z_1 Z_2 e^2}{h\nu}$$

Rješenje 11.

Udarni presjek se parametrizira uvođenjem "S-faktora":

$$\sigma(E) = \frac{S(E)}{E} e^{-2\pi\eta}$$

Raspodjela jezgara po brzinama (energijama) opisana je Maxwell-Boltzmanovom distribucijom:

$$\begin{aligned}\langle \sigma v \rangle &= \int_0^\infty v \sigma(v) \left(\frac{\mu}{2\pi kT} \right)^{3/2} e^{-\mu v^2 / 2kT} d^3v = \\ &= 4\pi \left(\frac{\mu}{2\pi kT} \right)^{3/2} \int_0^\infty v^3 \sigma(v) e^{-\mu v^2 / 2kT} dv = \\ &= \left(\frac{8}{\pi\mu} \right)^{1/2} \frac{1}{(kT)^{3/2}} \int_0^\infty E \sigma(v) e^{-E/kT} dE\end{aligned}$$

Rješenje 11.

Iskoristimo li malo prije definiran S -faktora, dobivamo:

$$\langle \sigma v \rangle = \sqrt{8/\pi\mu} (1/kT)^{3/2} \int S(E) e^{-E/kT - b/\sqrt{E}} dE$$

gdje je b dan s:

$$\begin{aligned} b &= 2\pi\eta\sqrt{E} = \\ &= 31.28 \cdot Z_1 Z_2 A^{1/2} \sqrt{\text{keV}} \end{aligned}$$

Integrand u izrazu za $\langle \sigma v \rangle$ bit će maksimalan kada je:

$$\frac{E}{kT} + \frac{b}{\sqrt{E}} = \min$$

Rješenje 11.

Tražimo minimum deriviranjem:

$$\frac{1}{kT} - \frac{1}{2} \frac{b}{E^{3/2}} = 0$$

i on se postiže za energiju:

$$E_G = \left(\frac{bkT}{2} \right)^{2/3} = \\ = 1.220 (Z_1^2 Z_2^2 A T_6^2)^{1/3} \text{ keV}$$

Dobivena energija (ili tzv. Gamowljeva energija) je "optimalna" upadna energija za odvijanje termonuklearnih reakcija...

Zadatak 12. Izračunajte Gamowljevu energiju za reakcije p+p i α+α na temperaturi središta Sunca

Rješenje 12.

$$E_G = 1.220 \cdot (Z_1^2 Z_2^2 A T_6^2)^{1/3} \text{ keV}$$

$$\Delta E = \frac{4}{\sqrt{3}} \sqrt{E_0 k T} = 0.237 (Z_1^2 Z_2^2 A)^{1/6} T_9^{5/6} \text{ MeV}$$

$$A = \frac{A_p A_T}{A_p + A_T}$$

- za $Z_1=Z_2=1, A=1/2,$

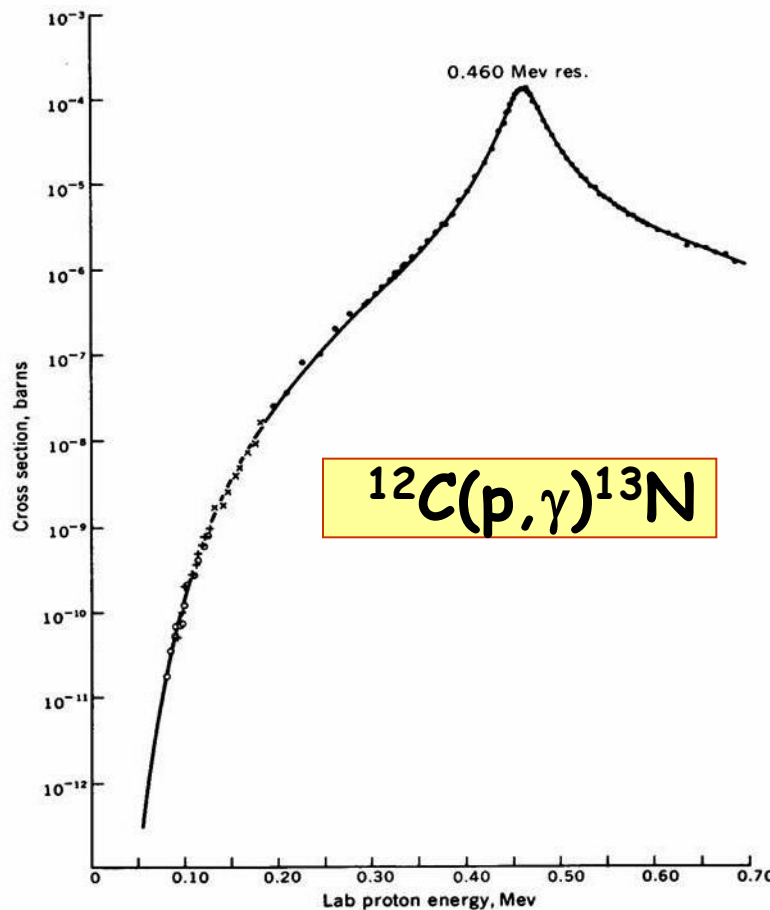
$$T=15 \times 10^6 \text{ K} \Rightarrow E_G = 5.9 \text{ keV}$$

- za $Z_1=Z_2=2, A=2,$

$$T=15 \times 10^6 \text{ K} \Rightarrow E_G = 23.5 \text{ keV}$$

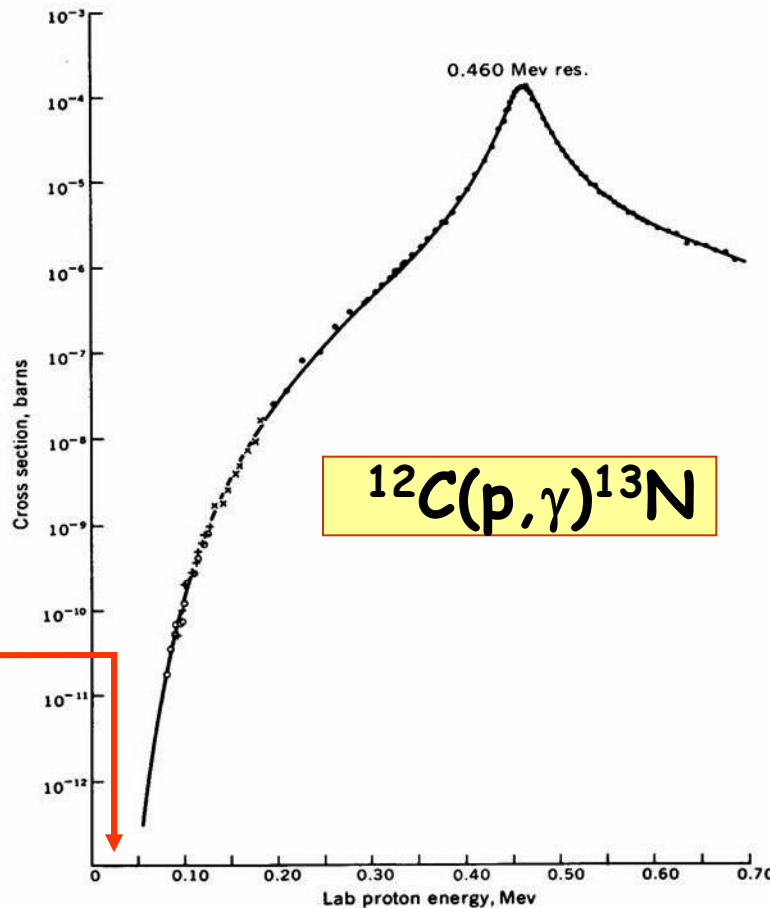
Ovisnost nukl. reakcija o energiji

- upadna energija (brzina) čestica je parametar koji ponajviše određuje brzinu odvijanja nuklearnih reakcija!
- dakako, bitni su i struktura jezgara, mehanizam reakcije itd.
- primjer:



Ovisnost nukl. reakcija o energiji

- upadna energija (brzina) čestica je parametar koji ponajviše određuje brzinu odvijanja nuklearnih reakcija!
- dakako, bitni su i struktura jezgara, mehanizam reakcije itd.
- primjer:



udarni presjek
trebamo ovdje!

S-faktor nuklearne reakcije

- budući da u laboratoriju zbog niskog udarnog presjeka najčešće nije moguće direktno mjeriti udarni presjek na traženoj energiji, potrebno je ili napraviti dobar teorijski model ili ekstrapolirati eksperimentalne rezultate na višim energijama
- ekstrapolacija je lakša ako se radi na veličini iz koje je izdvojen efekt tuneliranja (jer on vodi na brz pad udarnog presjeka na niskim energijama)

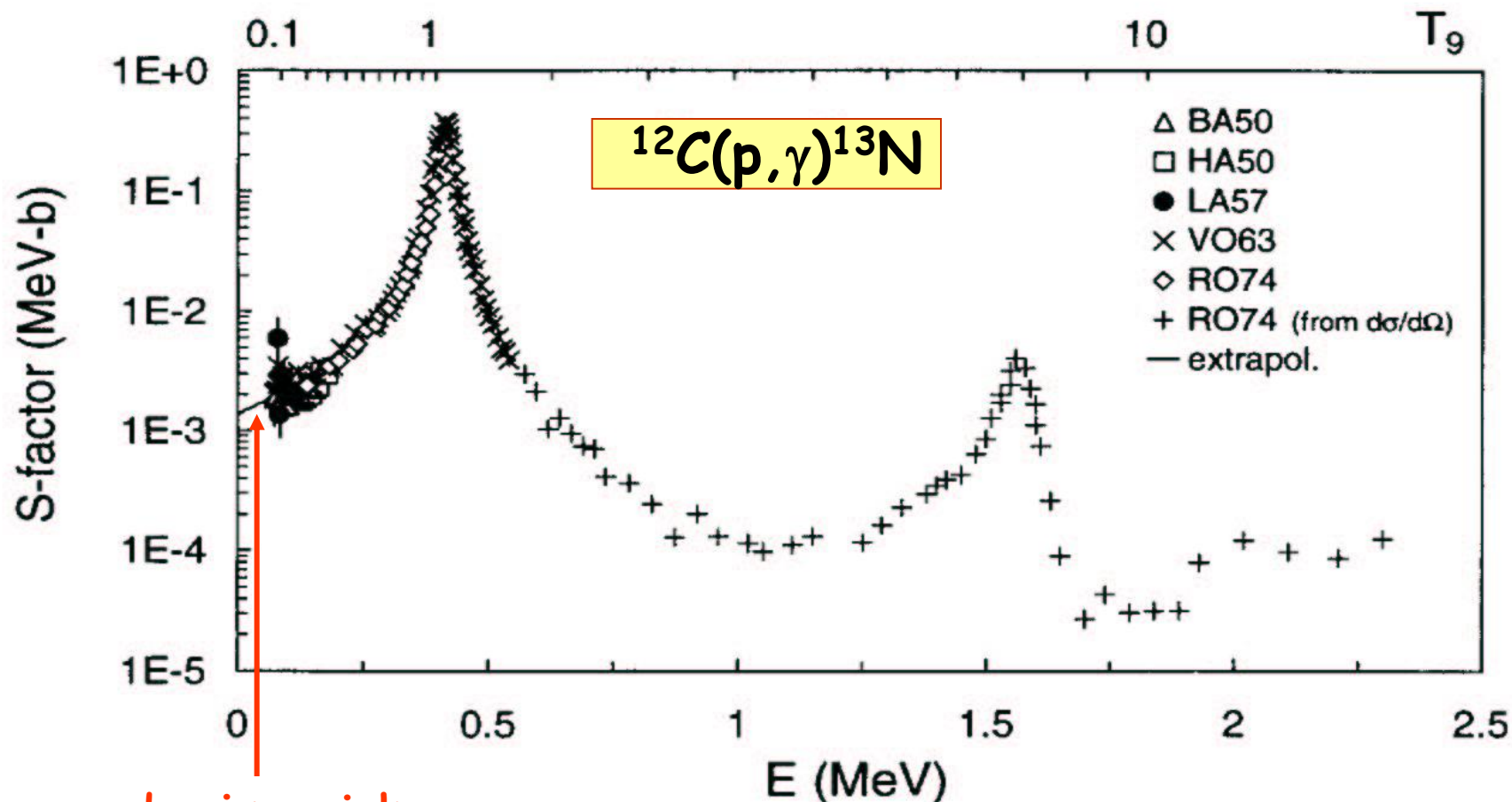
⇒ definira se nova veličina, tzv. **S-faktor**:

$$S(E) = \sigma(E) e^{2\pi Z_1 Z_2 e^2 / \hbar v}$$

- S-faktor i dalje uključuje svu bitnu nuklearnu fiziku: efekte strukture jezgara koje sudjeluju u reakciji, mehanizma reakcije i dr.
- ekstrapolacija S-faktora na niske energije dosta uspješna, osim u slučaju postojanja rezonanci!

S-faktor za $^{12}\text{C}(\text{p},\gamma)^{13}\text{N}$

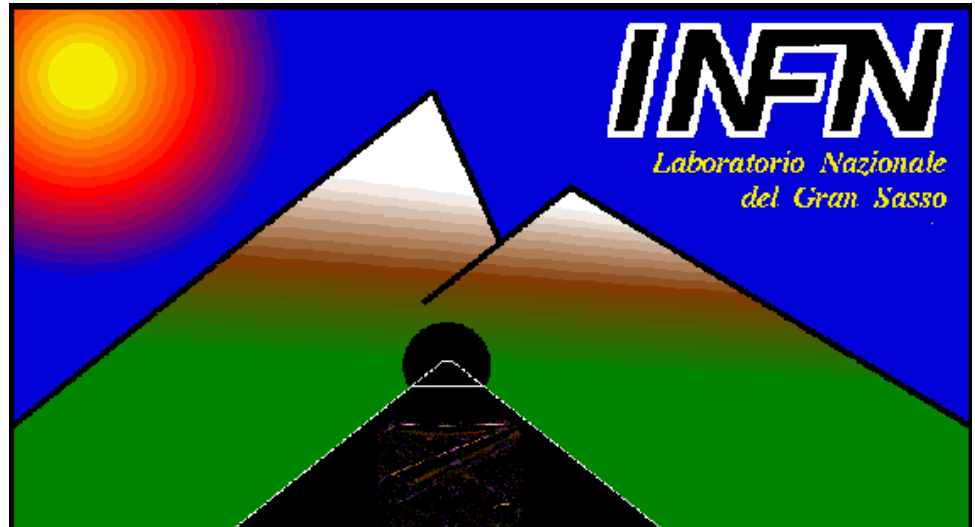
- za prethodni primjer imamo:



udarni presjek
trebamo ovdje!

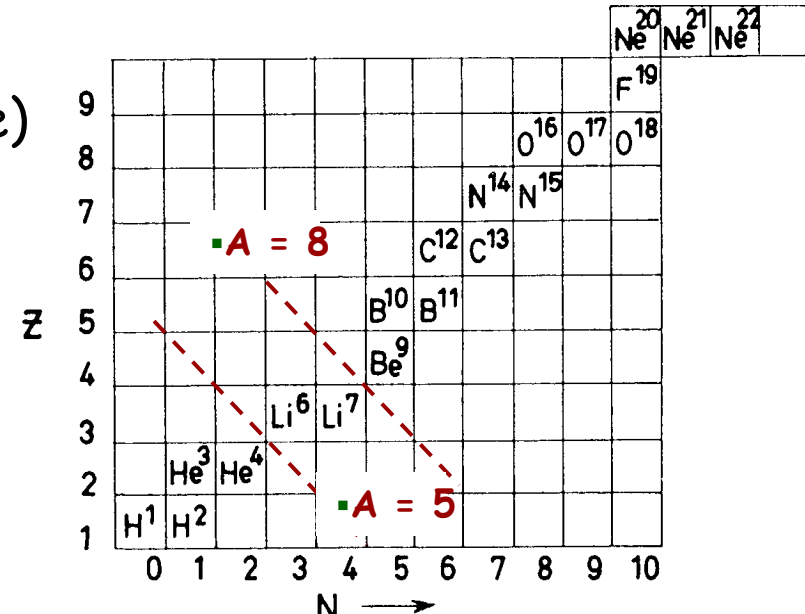
LUNA

- od engl. Laboratory Underground for Nuclear Astrophysics
- tunel Gran Sasso, Italija
- 1400 m ispod površine zemlje
- tok kozmičkog zračenja milion puta manji nego na površini
- 1998. - prvo mjerjenje reakcije ${}^3\text{He} + {}^3\text{He} \rightarrow {}^4\text{He} + 2\text{p}$ na Gamowljevoj energiji
- detektiran u projektu 1 događaj mjesечно!
- od tada izmjerene još tri reakcije i u dva slučaja dobiveni bitno drugačiji rezultati u odnosu na prijašnje ekstrapolacije i teorijska predviđanja...



Gorenje vodika

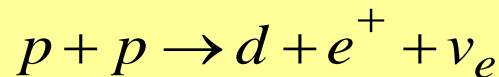
- nakon prve tri minute od Velikog Praska, vidljiva materija u Svemiru sastojala se od $\approx 75\%$ vodika i $\approx 25\%$ helija (maseni udjeli)
- u preostalih 13.7 milijardi godina, materija je prerađivan u zvijezdama, ali taj omjer nije bitno promijenjen (u Sunčevom sustavu: $<2\%$ nuklida ima $A>5$)
- dakle, nuklearne reakcije kreću u smjesi helija i vodika; **nema neutrona!**
- vjerojatnost nuklearne reakcije između 3 ulazne čestice zanemarivo malena
⇒ ne možemo direktno 4 protona pretvoriti u alfa-česticu (jezgru ${}^4\text{He}$)
- dodatni problem: ne postoji čestično stabilne jezgre s $A=5$ i $A=8$



Gorenje vodika

Korak 1: ~~$p + p \rightarrow {}^2He$~~

2He nije stabilan



Korak 2: $d + p \rightarrow {}^3He + \gamma$

~~$d + d \rightarrow {}^4He$~~

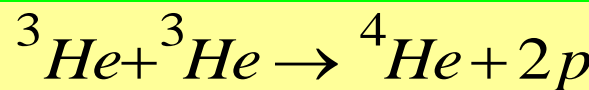
deuterona premalo!

Korak 3: ~~${}^3He + p \rightarrow {}^4Li$~~

4Li nije stabilan

~~${}^3He + d \rightarrow {}^4He + n$~~

deuterona premalo!



- za razliku od deuterona koji se po nastanku brzo razbija fotonima, 3He je prilično stabilan i zato je zadnji korak moguć!

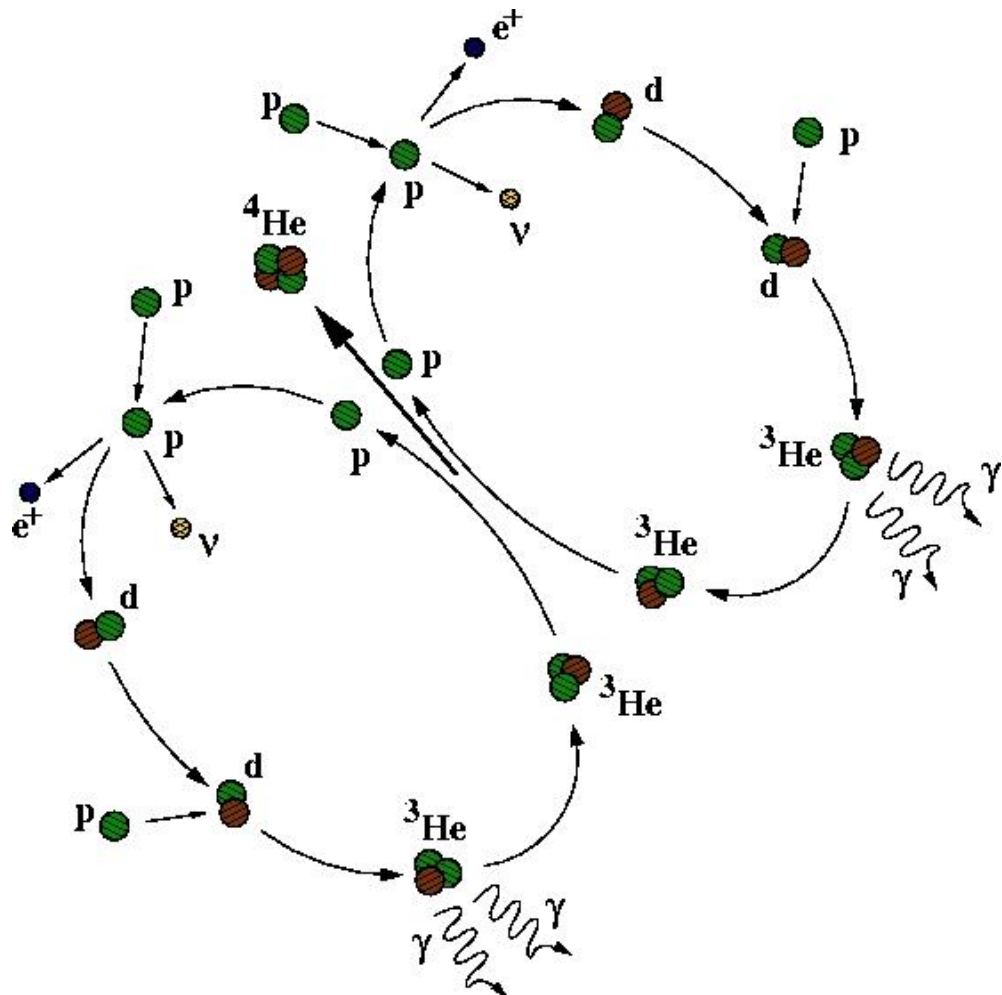
Zadatak 13. Za pp -ciklus odredite ukupnu oslobođenu energiju (srednja neutrinska energija iz raspada pozitrona je 0.26 MeV)

Rješenje 13.

- pp -ciklus ilustriran je na slici; reakcije su:

	<u>Q / MeV</u>
$p + p \rightarrow d + e^+ + \nu$	1.442
$d + p \rightarrow {}^3\text{He} + \gamma$	5.493
${}^3\text{He} + {}^3\text{He} \rightarrow {}^4\text{He} + 2p$	12.859

- ukupan Q :
$$2 \times 1.442 + 2 \times 5.493 + 12.859 - 2 \times 0.26 \approx 26.2 \text{ MeV}$$
- oslobađa se $\approx 26.2 \text{ MeV}$ po svakoj stvorenoj jezgri ${}^4\text{He}$



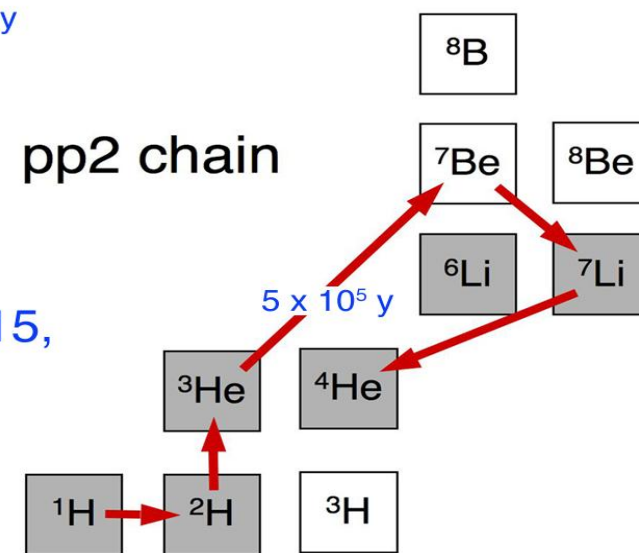
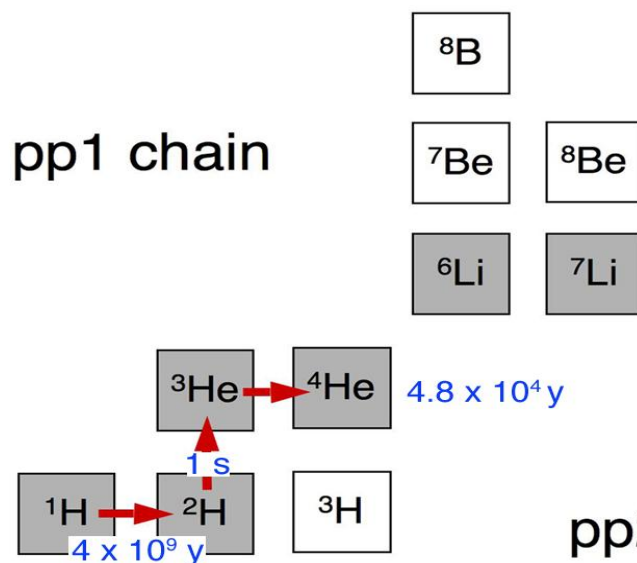
Zadatak 13. Za pp -ciklus odredite ukupnu oslobođenu energiju (srednja neutrinska energija iz raspada pozitrona je 0.26 MeV)

Rješenje 13.

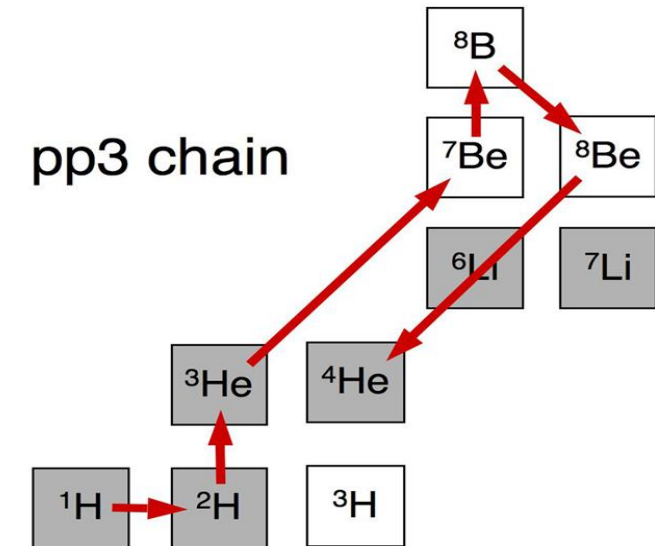
- netto-efekt pp -ciklusa je taj da su 4 protona pretvorena u helij, te da su stvorena dva pozitrona i neutrina; rezultat se može dobiti i na drugi način:

$$\begin{aligned} Q &= (4m_p - m_\alpha) \cdot c^2 + 2m_e - 2 \cdot 0.26 \text{ MeV} = \\ &= (4 \cdot 1.00728 - 4.00151) \cdot 931.5 \text{ MeV} + 2 \cdot 511 \text{ keV} - 0.52 \text{ MeV} = \\ &\approx 26.2 \text{ MeV} \end{aligned}$$

- važni su i tzv. slabi prijelazi, pa je pp -ciklus vrlo spor!
- na višim temperaturama: pp -II, pp -III, CNO-ciklus itd.
- eksperimentalan "manjak" broja neutrina \Rightarrow problem Sunčevih neutrina \Rightarrow neutrinske oscilacije!

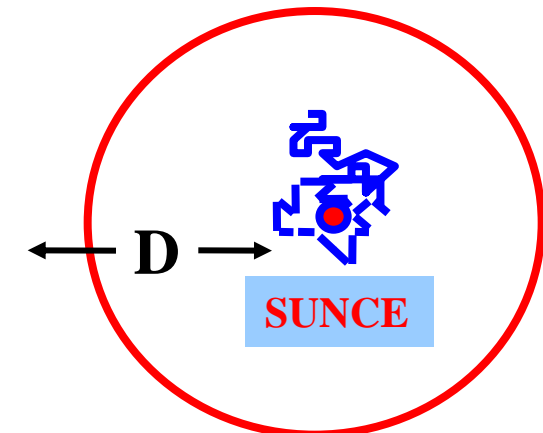


(reaction times are for $T_6 = 15$,
 $\rho X_{\text{H}} = 100 \text{ g/cm}^3$)



Problem Sunčevih neutrina

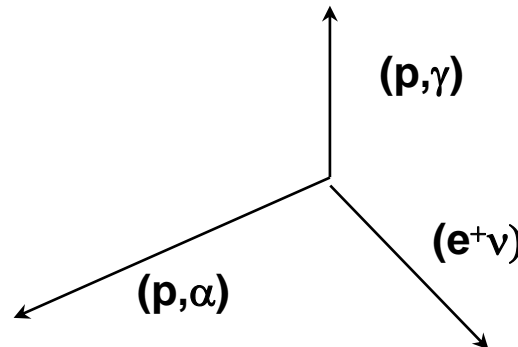
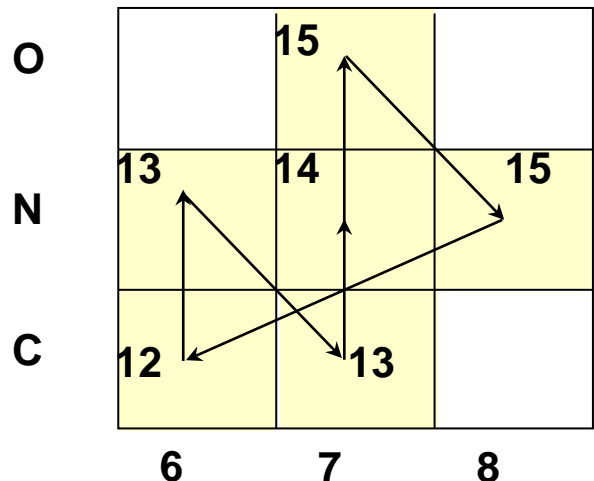
- fotoni na svom putu iz Sunca se raspršuju i treba im $\approx 10^6$ godina da izadu!
- neutrini zbog vrlo slabe interakcije nesmetano izlaze i nose informaciju o nuklearnim reakcijama
- R.Davis, 1968.god. – “brojao” Sunčeve neutrine koristeći ogroman volumen napunjeno perkloretilenom
- neutrine detektirao putem inverznog beta-raspada:
$$\nu_e + ^{37}\text{Cl} \rightarrow e^- + ^{37}\text{Ar}$$
- umjesto očekivanih 2, eksperimentalno detektirana samo 0.5 događaja po danu
⇒ **problem Sunčevih neutrina**
(Davis, Nobelova nagrada 2002.)



problem riješen tek nedavno potvrdom postojanja **neutrinskih oscilacija** (Super-Kamiokande i SNO)

CNO-ciklus (Carbon-Nitrogen-Oxygen)

- na višim temperaturama ($T \approx 100$), najvažniji način sinteze izotopa i energije postaje tzv. CNO-ciklus:



- netto-efekt isti kao i za pp -ciklus: 4 protona su pretvorena u helij, te da su stvorena dva pozitrona i neutrina
- na još višim temperaturama: "vrući" CNO-ciklus itd.

Nobelova nagrada 1967.

A Scenario-H.A. Bethe (CNO Cycles), Physical Review 55, 103(L) 1939.

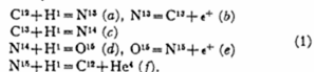
LETTERS TO THE EDITOR

103

Energy Production in Stars

In several recent papers,^{1,2} the present author has been quoted for investigations on the nuclear reactions responsible for the energy production in stars. As the publication of this work which was carried out last spring has been unduly delayed, it seems worth while to publish a short account of the principal results.

The most important source of stellar energy appears to be the reaction cycle:

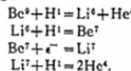


In this cycle, four protons are combined into one α -particle (plus two positrons which will be annihilated by two electrons). The carbon and nitrogen isotopes serve as catalysts for this combination. There are no alternative reactions between protons and the nuclei $\text{C}^{12}\text{N}^{14}$; with N^{14} , there is the alternative process



but this radiative capture may be expected to be about 10,000 times less probable than the particle reaction (f). Thus practically no carbon and nitrogen will be consumed and the energy production will continue until all protons in the star are used up. At the present rate of energy production, the hydrogen content of the sun (35 percent by weight)⁴ would suffice for 3.5×10^{10} years.

The reaction cycle (1) is preferred before all other nuclear reactions. Any element lighter than carbon, when reacting with protons, is destroyed permanently and will not be replaced. E.g., Be^9 would react in the following way:



Therefore, even if the star contained an appreciable amount of Li, Be or B when it was first formed, these elements would have been consumed in the early history of the star. This agrees with the extremely low abundance of these elements (if any) in the present stars. These considerations apply also to the heavy hydrogen isotopes H^2 and H^3 .

The only abundant and very light elements are H^1 and He^4 . Of these, He^4 will not react with protons at all because He^4 is unstable, and the reaction between two protons, while possible, is rather slow⁴ and will therefore be much less important⁴ in ordinary stars than the cycle (1).

Elements heavier than nitrogen may be left out of consideration entirely because they will react more slowly with protons than carbon and nitrogen, even at temperatures much higher than those prevailing in stars. For the same reason, reactions between α -particles and other nuclei are of no importance.

To test the theory, we have calculated (Table I) the energy production in the sun for several nuclear reactions, making the following assumptions:

(1) The temperature at the center of the sun is 2×10^7 degrees. This value follows from the integration of the

TABLE I. Energy production in the sun for several nuclear reactions.

REACTION	AVERAGE ENERGY PRODUCTION (ergs/g sec.)
$\text{H}^1 + \text{H}^1 \rightarrow \text{H}^1 + \text{H}^1 + f,^*$	0.2
$\text{H}^1 + \text{H}^1 \rightarrow \text{He}^4$	3×10^{-4}
$\text{Li}^7 + \text{H}^1 \rightarrow \text{Be}^9 + \text{He}^4$	4×10^{-4}
$\text{B}^{10} + \text{H}^1 \rightarrow \text{C}^{11} + f,$	3×10^{-4}
$\text{B}^{10} + \text{H}^1 \rightarrow \text{He}^4$	10^{15}
$\text{N}^{14} + \text{H}^1 \rightarrow \text{O}^{15} + f,$	3
$\text{O}^{15} + \text{H}^1 \rightarrow \text{P}^{16} + f,$	10^{-4}

* " $+f,$ " means that the energy production in the reactions following the one listed, is included. E.g. the figure for the $\text{N}^{14} + \text{H}^1$ includes the complete chain (1).

Eddington equations with any reasonable "star model."⁴ The "point source model" with a convective core which is a very good approximation to reality gives 2.03×10^7 degrees.⁷ The same calculation gives 50.2 for the density at the center of the sun. The central temperature is probably correct to within 10 percent.

(2) The concentration of hydrogen is assumed to be 35 percent by weight, that of the other reacting element 10 percent. In the reaction chain (1), the concentration of N^{14} was assumed to be 10 percent.

(3) The ratio of the average energy production to the production at the center was calculated⁷ from the temperature-density dependence of the nuclear reaction and the temperature-density distribution in the star.

It is evident from Table I that only the nitrogen reaction gives agreement with the observed energy production of 2 ergs/sec. All the reactions with lighter elements would give energy productions which are too large by many orders of magnitude if they were abundant enough, whereas the next heavier element, O^{15} , already gives more than 10,000 times too small a value. In view of the extremely strong dependence on the atomic number, the agreement of the nitrogen-carbon cycle with observation is excellent.

The nitrogen-carbon reactions also explain correctly the dependence of mass on luminosity for main sequence stars. In this connection, the strong dependence of the reaction rate on the massive stars has slightly higher $T = 3.2 \times 10^7$ and

With the assumption of a precipice change than helium during transmutation of is more general to the commonality. A detailed account is given soon.

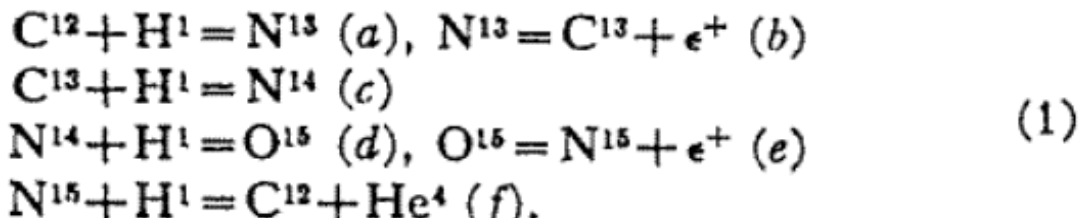
Cornell University
Ithaca, New York
December 15,

J. F. v. Weizsäcker
J. Oppenheimer
G. Gamow, Phys.
E. Fermi, Phys.
H. Bethe and C. Ind.
Only for very c
become important.
The author is ind

1 stranica \Rightarrow
1 Nobelova nagrada

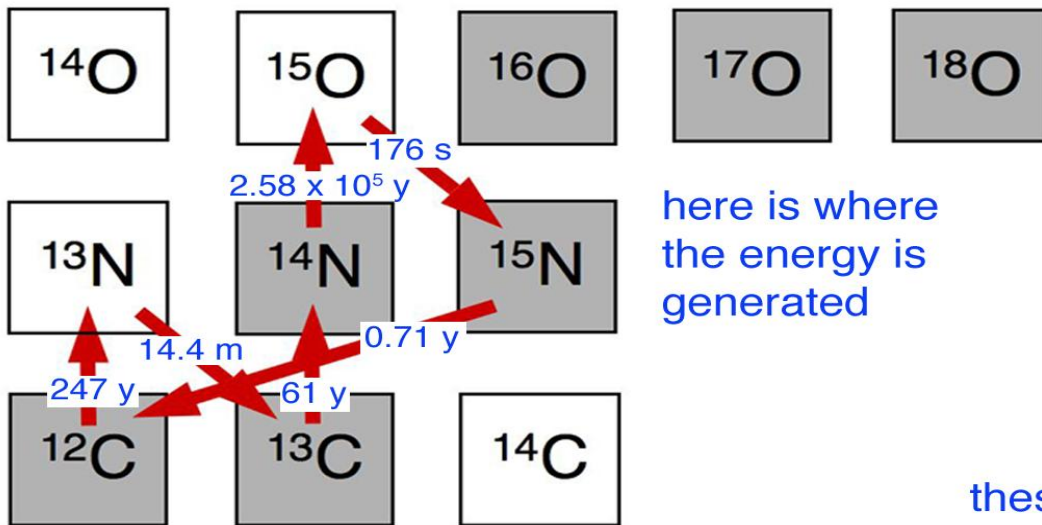
...for his contributions to
the theory of nuclear
reactions, especially his
discoveries concerning
energy production in stars.

The most important source of stellar energy appears to be the reaction cycle:

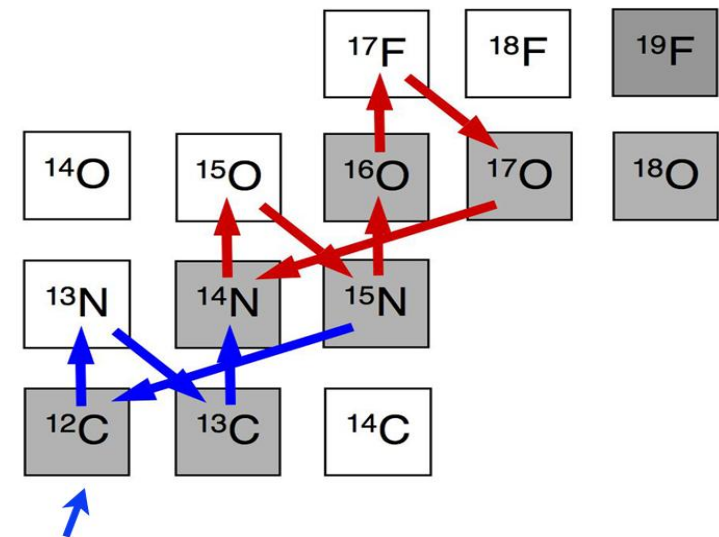


CNO1

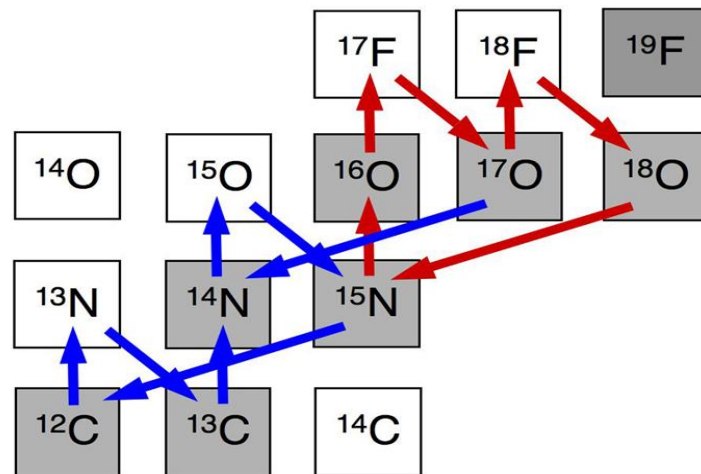
reaction times are for
 $T_6 = 25$, $\rho = 100 \text{ g/cm}^3$



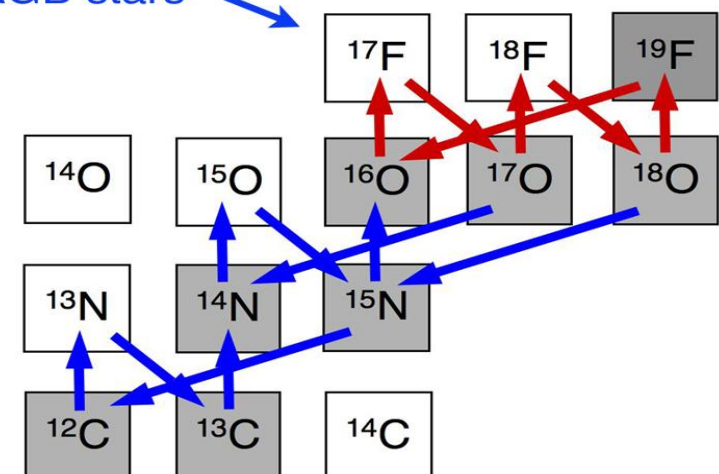
CNO2



CNO3

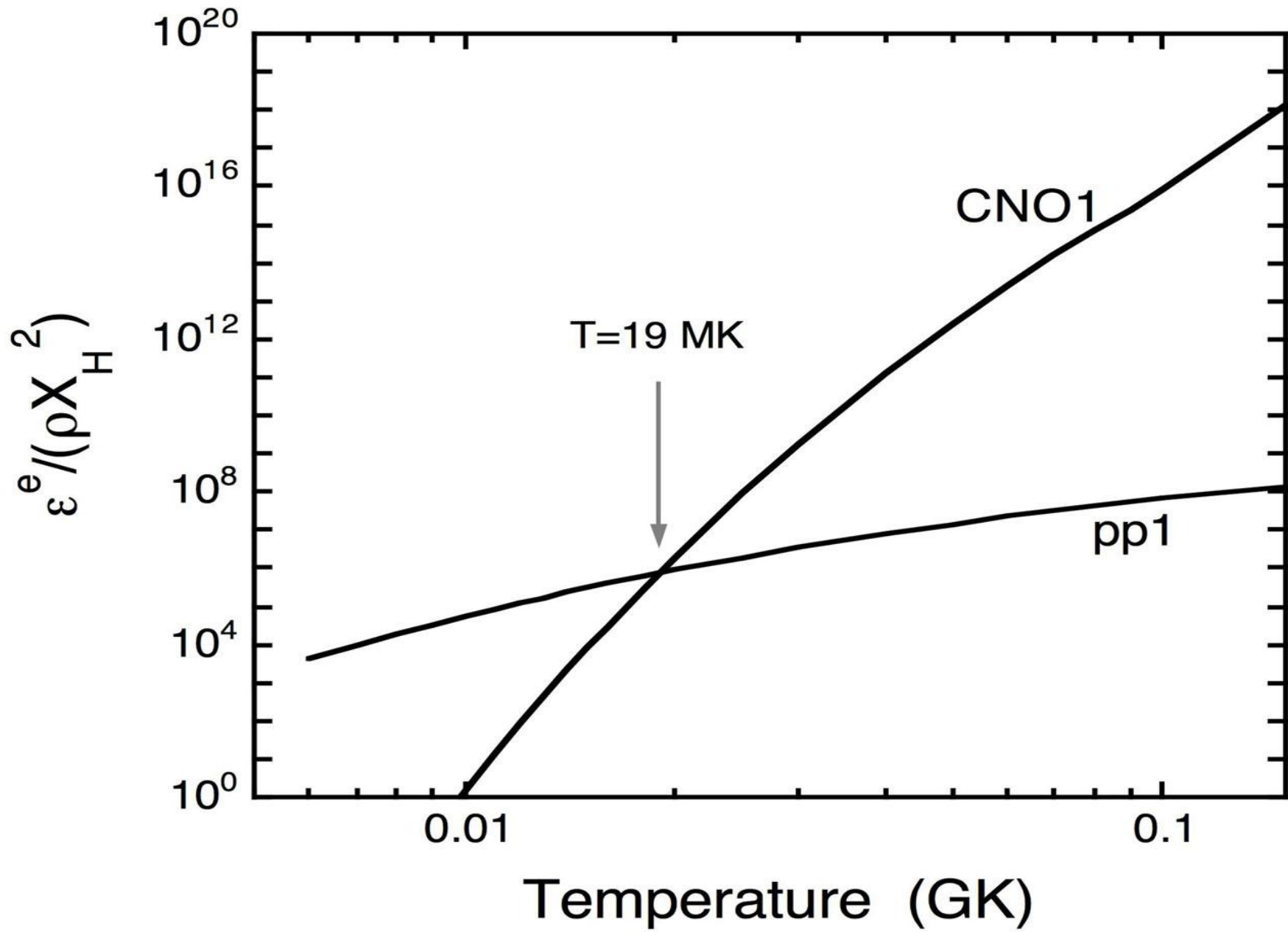


CNO4



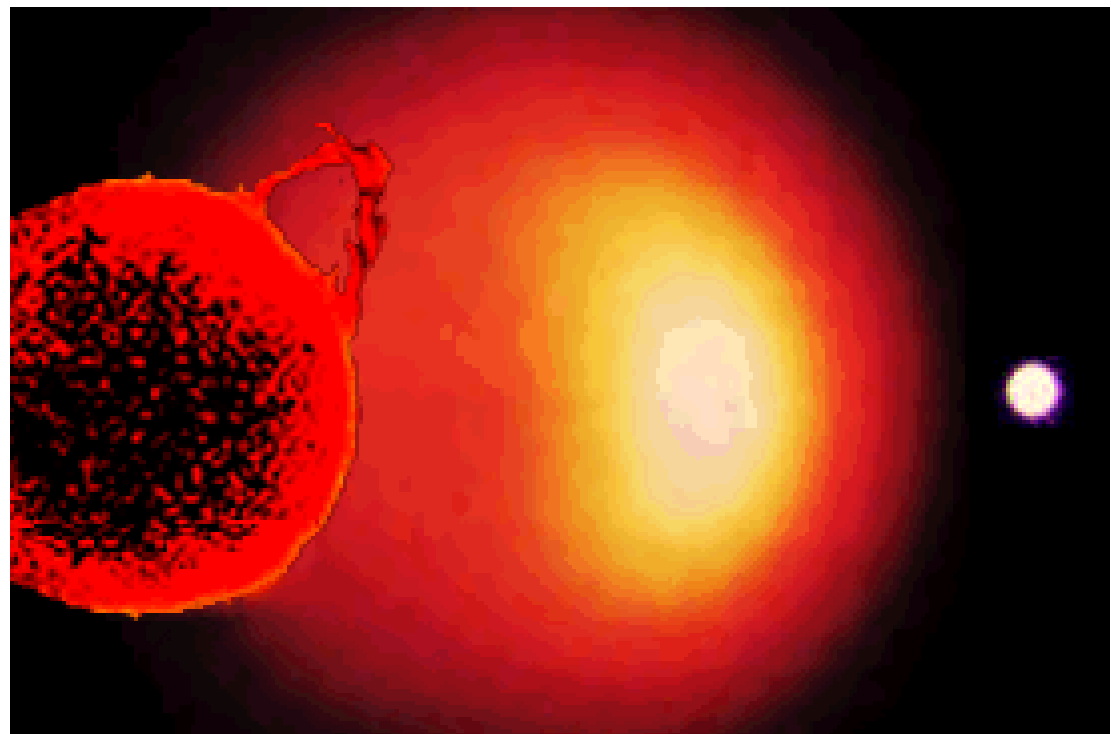
here is where
the energy is
generated

these cycles are still interesting
from nucleosynthesis standpoint
e.g. O isotopes can be used to probe
mixing in AGB stars



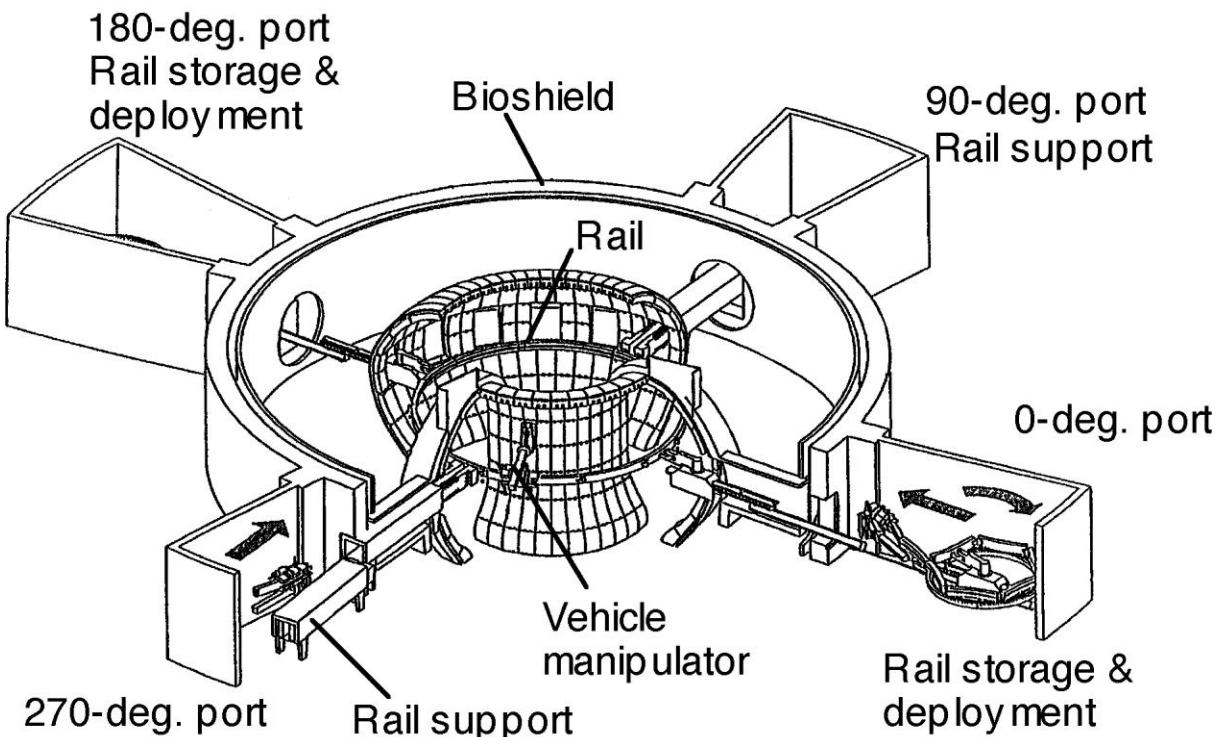
Sunce

- naše Sunce 99% energije proizvodi $p\bar{p}$ -ciklusom, a samo 1% kroz CNO-ciklus (za sada, taj postotak raste s vremenom)
- svake sekunde se 700 000 000 tona vodika pretvori u helij
- trenutačni sastav (maseni udio): 70% vodika, 28% helija i 2% "metala"
- starost: 4.5 milijardi godina
- kad istroši gorivo (nakon otprilike dalnjih 5 milijardi godina), Suncu će volumen prvo rasti ("crveni div"), da bi se zatim bitno smanjio ("bijeli patuljak")



ITER (Cadarache, Marseille, Francuska)

- lat. = put, od engl. International Thermonuclear Experimental Reactor
- komercijalni fuzijski reaktor?
- planirani proračun: oko 20 milijadi USD
- problem: visoka temperatura, zakočno zračenje



Gorenje helija (reakcije 3 alfa-čestice)

- ne postoje stabilne jezgre s $A=5$ i $A=8$!
- stvaranje elemenata težih od helija odvija se u dva koraka:

Prvi korak: $\alpha + \alpha \rightarrow {}^8\text{Be}$

nestabilan: $T_{1/2} \approx 10^{-16}$ s no, malena
ravnotežna količina postoji!

Drugi korak:

${}^8\text{Be} + \alpha \rightarrow {}^{12}\text{C}^*$, stvorene jezgre ${}^{12}\text{C}$ pobuđene na ≈ 7.7 MeV, manji dio emisijom gama-zraka prelazi u osnovno stanje

- 1954. Fred Hoyle uočava da se količina ugljika u Svemiru može objasniti jedino bitnim "ubrzavanjem" (faktor 10^5 !) drugog koraka \Rightarrow predviđa postojanje stanja (rezonance) na ≈ 7.7 MeV u ${}^{12}\text{C}$
- 1957. Cook, Fowler i Lauritsen (Caltech) eksperimentalno pronađaze to stanje (na 7.654 MeV) s točno predviđenim karakteristikama

(Fowler, Nobelova nagrada 1983.)

Zadatak 14. Gorenje helija odvija se preko čestično-nestabilne jezgre ${}^8\text{Be}$ i rezonancije u ${}^{12}\text{C}$ na temperaturama većim od 2×10^8 K. Procijenite ekscitacijsku energiju i svojstva te rezonancije!

Rješenje 14.

Zadatak 14. Gorenje helija odvija se preko čestično-nestabilne jezgre ${}^8\text{Be}$ i rezonancije u ${}^{12}\text{C}$ na temperaturama većim od 2×10^8 K. Procijenite ekscitacijsku energiju i svojstva te rezonancije!

Rješenje 14.

- za $Z_1=2$, $Z_2=4$, $A=8/3$, $T=2 \times 10^8$ K $\Rightarrow E_0 = 185$ keV
- slično: $\Delta E_0 = 145$ keV
- dakle, rezonancija u ${}^{12}\text{C}$ bi trebala biti oko 200 keV-a iznad praga za α -raspad jezgre ${}^{12}\text{C}$
- budući da ${}^8\text{Be}$ i ${}^4\text{He}$ imaju osnovno stanje $J^\pi=0^+$, rezonancija bi također morala imati $J^\pi=0^+$ jer svaki dodatni L podiže barijeru centrifugalnim članom...
- slično je predviđanje na temelju količine ugljika u Svetomiru napravio Hoyle 1952. godine i ta je rezonancija eksperimentalno nađena par godina poslije (Cook, Fowler, Lauritsen)

Gorenje helija, ugljika i kisika

- sinteza se nastavlja sukcesivnim dodavanjem α -čestica

- ${}^8\text{Be}$ - dovoljno za daljnju sintezu

- nastanak ${}^{12}\text{C}$ ← "Hoyle-ovo stanje"

- preživljavanje ${}^{12}\text{C}$: termalna rezonancija u ${}^{16}\text{O}$ prenisko

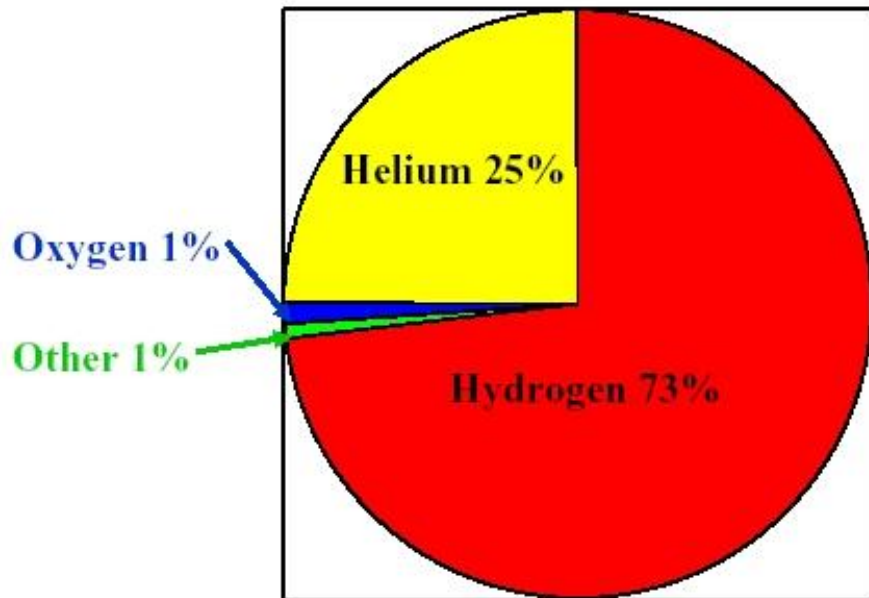
- usporavanje sinteze ← termalna rezonancija u ${}^{20}\text{Ne}$ ima kriva svojstva



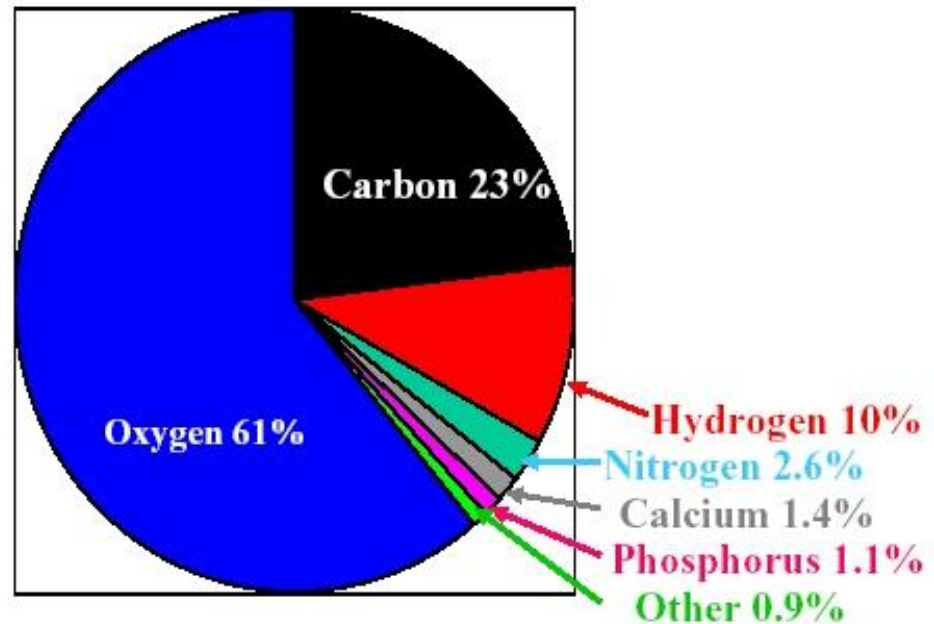
- Rezultat: puno ugljika i kisika

Ugljik i kisik

Universe

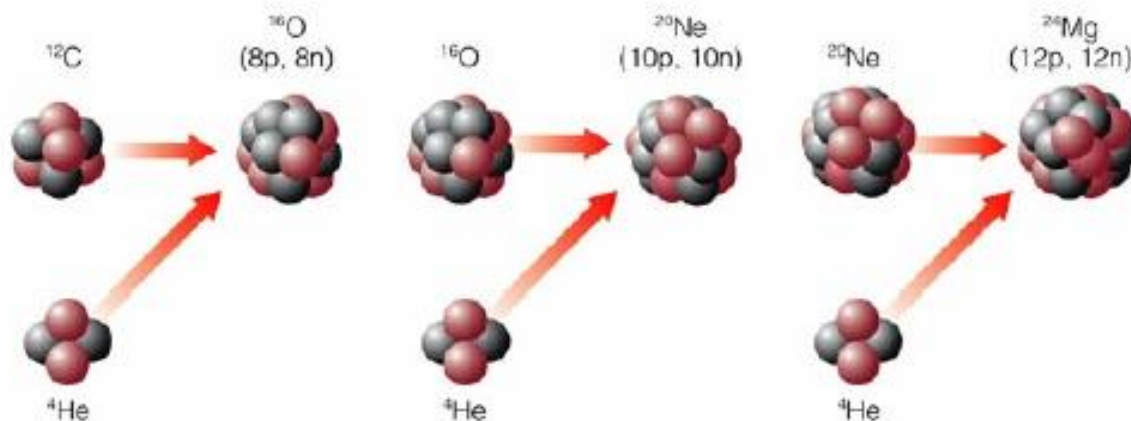


Human Body

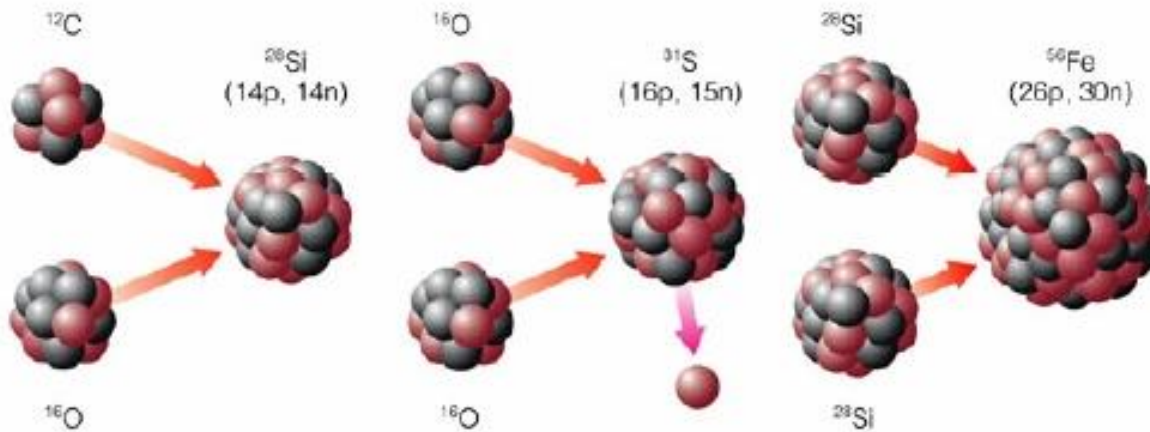


Gorenje težih jezgara

Helium-capture reactions

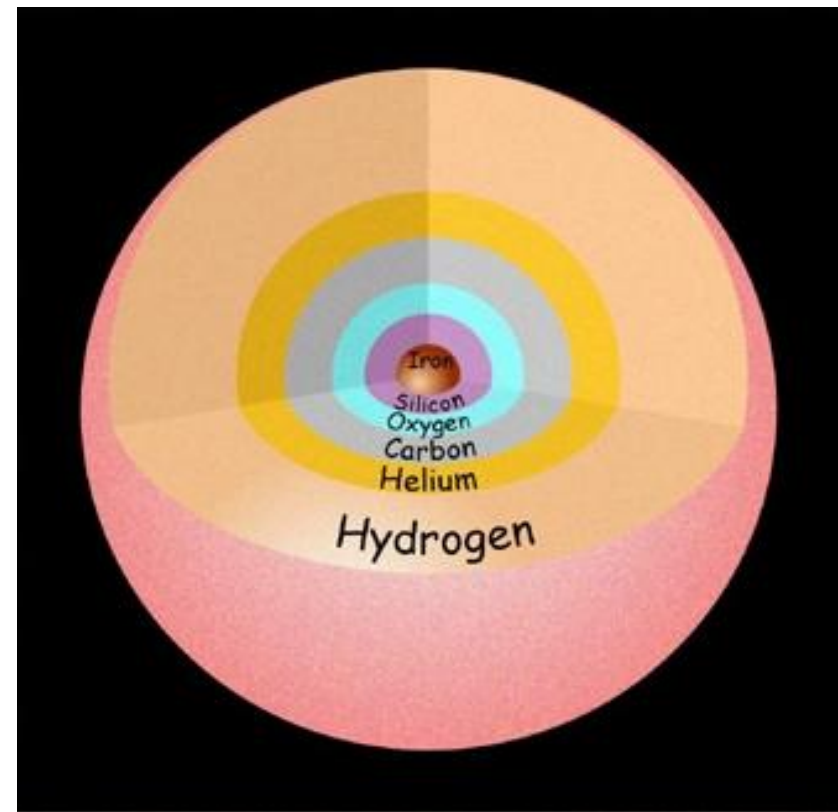


Other reactions

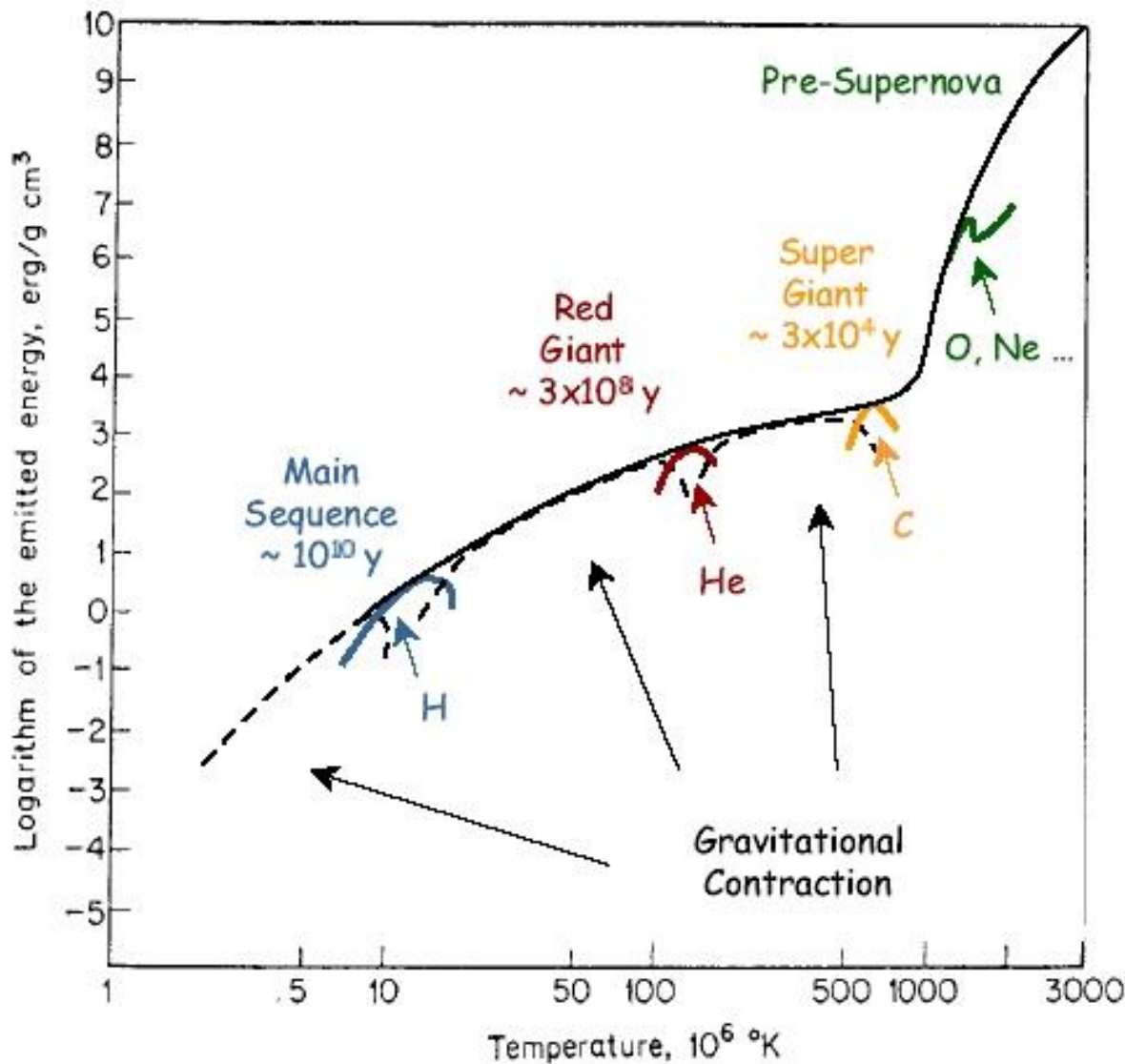


Kraj nukleosinteze u zvijezdama

- željezo je najjače vezana jezgra, pa s njom sinteza prestaje
- unutrašnjost zvijezde podijeljena je na ljske različitog sastava
- u crvenim divovima (starim zvijezdama velikog volumena) sinteza elemenata se nastavlja tzv. *s-procesima* (sporim procesima)
- neutroni stvoreni u vanjskim ljskama uzrokuju reakcije na željezu, stvorene jezgre raspadaju se beta-raspadom i tako nastaje manja količina težih elemenata



Daljnje gorenje težih izotopa



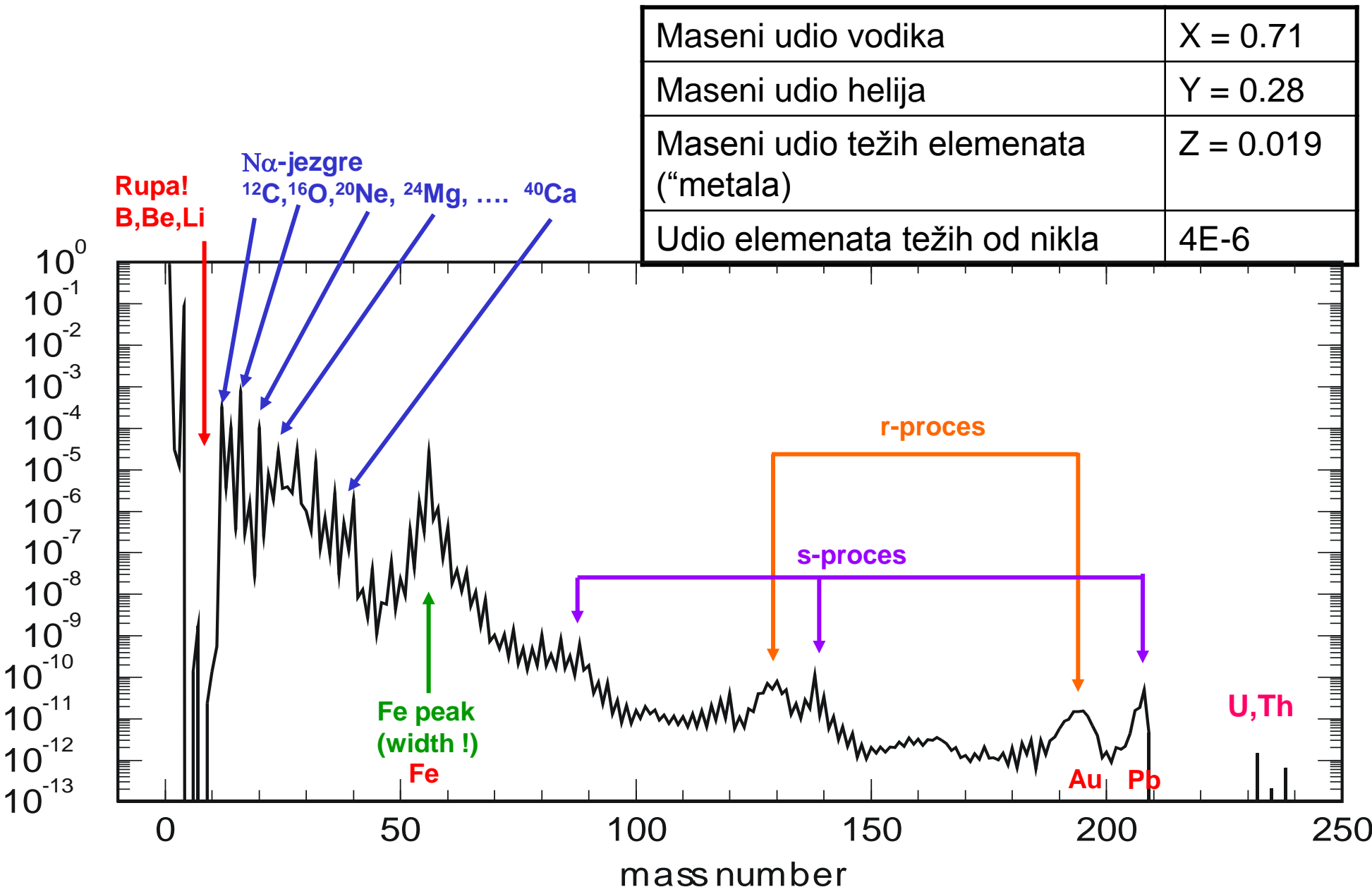
Kraj gorenja

Masa (M_{\odot})	Konačan stupanj
< 0.08	nema fuzije!
0.1 -0.5	gorenje vodika
0.5 - 8	gorenje helija
8 - 11	gorenje ugljika
> 11	Supernova

Evolucija zvijezde s masom $25 M_{\odot}$

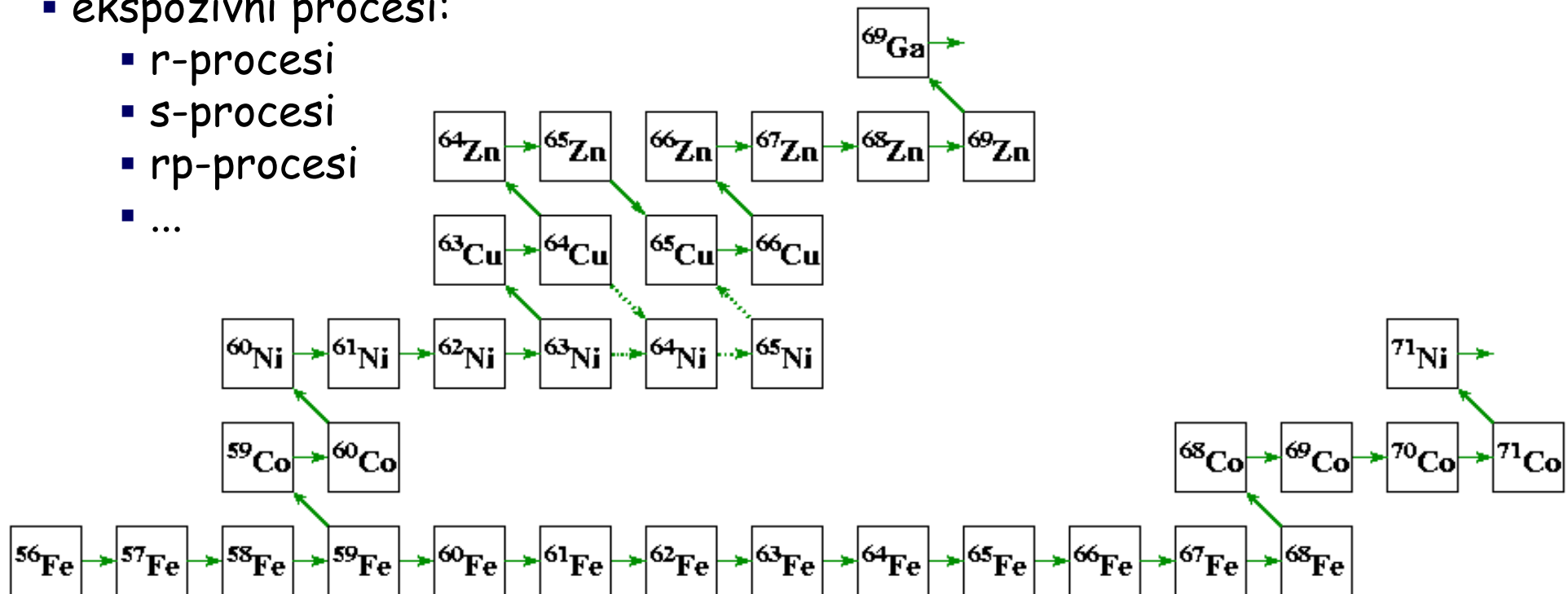
	Vrijeme	$T_c (10^9 \text{ K})$	$\rho (\text{g cm}^{-3})$
gorenje vodika	$7 \times 10^6 \text{ god}$	0.06	5
gorenje helija	$5 \times 10^5 \text{ god}$	0.23	7×10^2
C/O - gorenje	600 / 0.5 god	0.93 – 2.3	$2 \times 10^5 – 1 \times 10^7$
gorenje Si	1 dan	4.1	3×10^7
eksplozivni procesi	0.1 – 1 s	1.2 - 7	

Zastupljenost elemenata



Supernove

- stvorene jezgre raspršuju se Svemirom u eksplozijama supernova
- pri tome nastaju i elementi teži od željeza (uglavnom uhvatom neutrona kombiniranim s beta-raspadom)...
- ekspozivni procesi:
 - r-procesi
 - s-procesi
 - rp-procesi
 - ...



Još jedan dokaz nukleosinteze u zvijezdama

- u zvijedama kod kojih se (za razliku od našeg Sunca) materijal iz unutrašnjosti prenosi do fotosfere, uočene (1952.) spektralne linije tehnicija (Tc)
- tehnicij nema stabilnih izotopa - najdugovječniji ^{98}Tc ima vrijeme poluživota od ≈ 4 milijuna godina

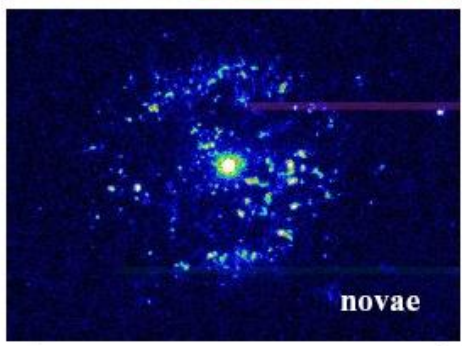
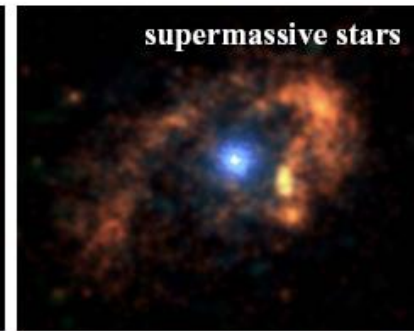
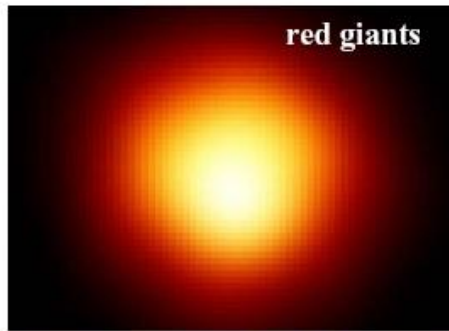
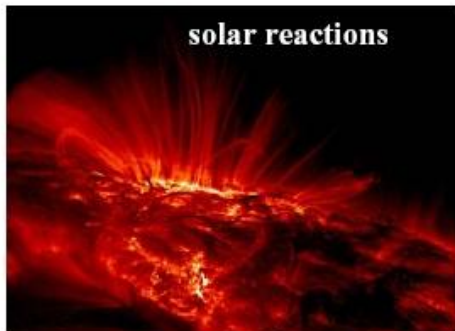


Vremenska skala

Main sequence star
 $T_6 \sim 15$, $M_\odot \sim 1$,
 $t \sim 10^{10}$ y

Red Giant star;
 $T_9 \sim 0.1 - 0.2$,
 $M_\odot \sim 1$, $t \sim 10^9$ y

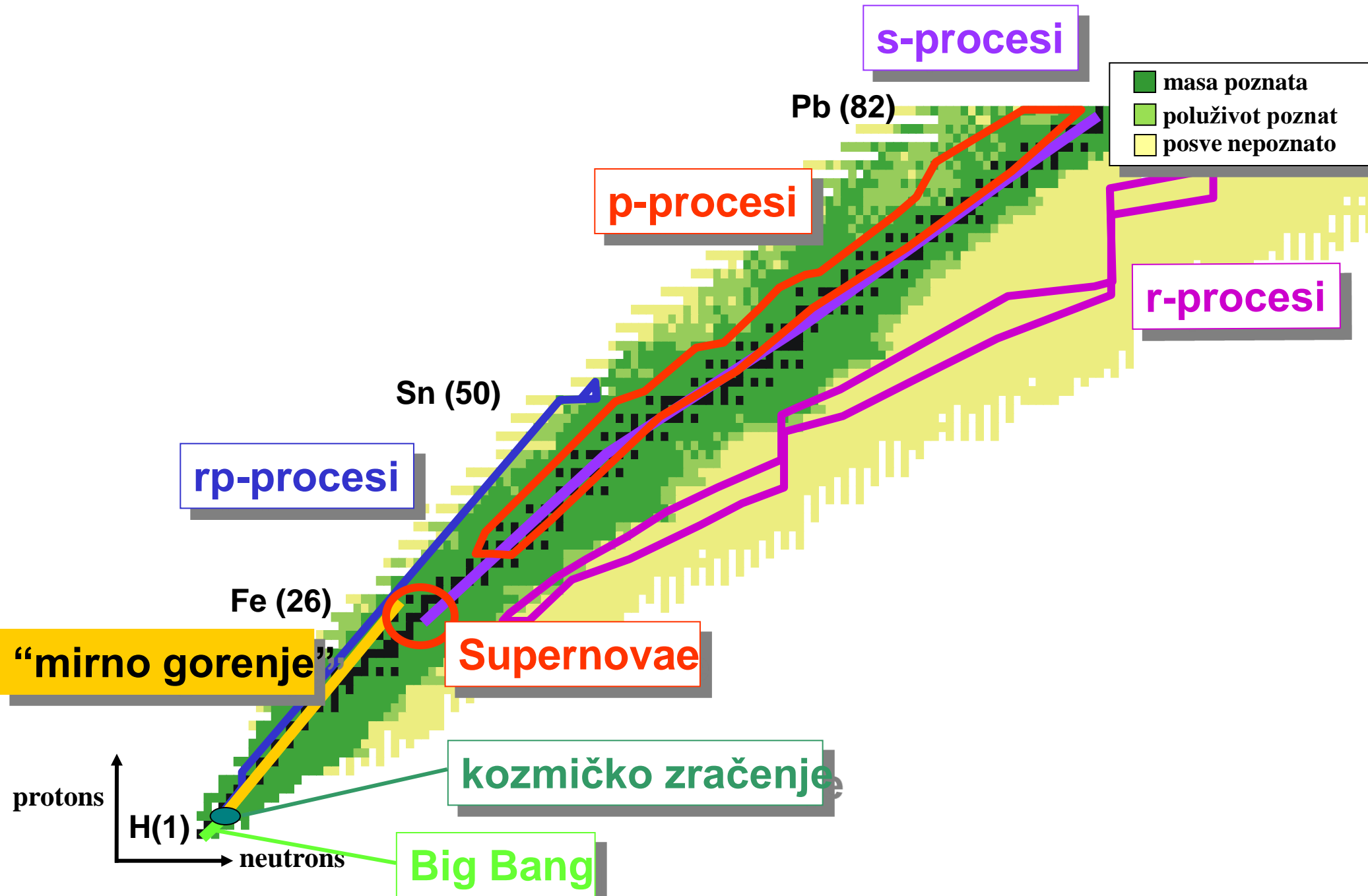
$T_9 \sim 0.1$,
 $M_\odot \sim 10^2 - 10^5$
 $t < 10^6$ y



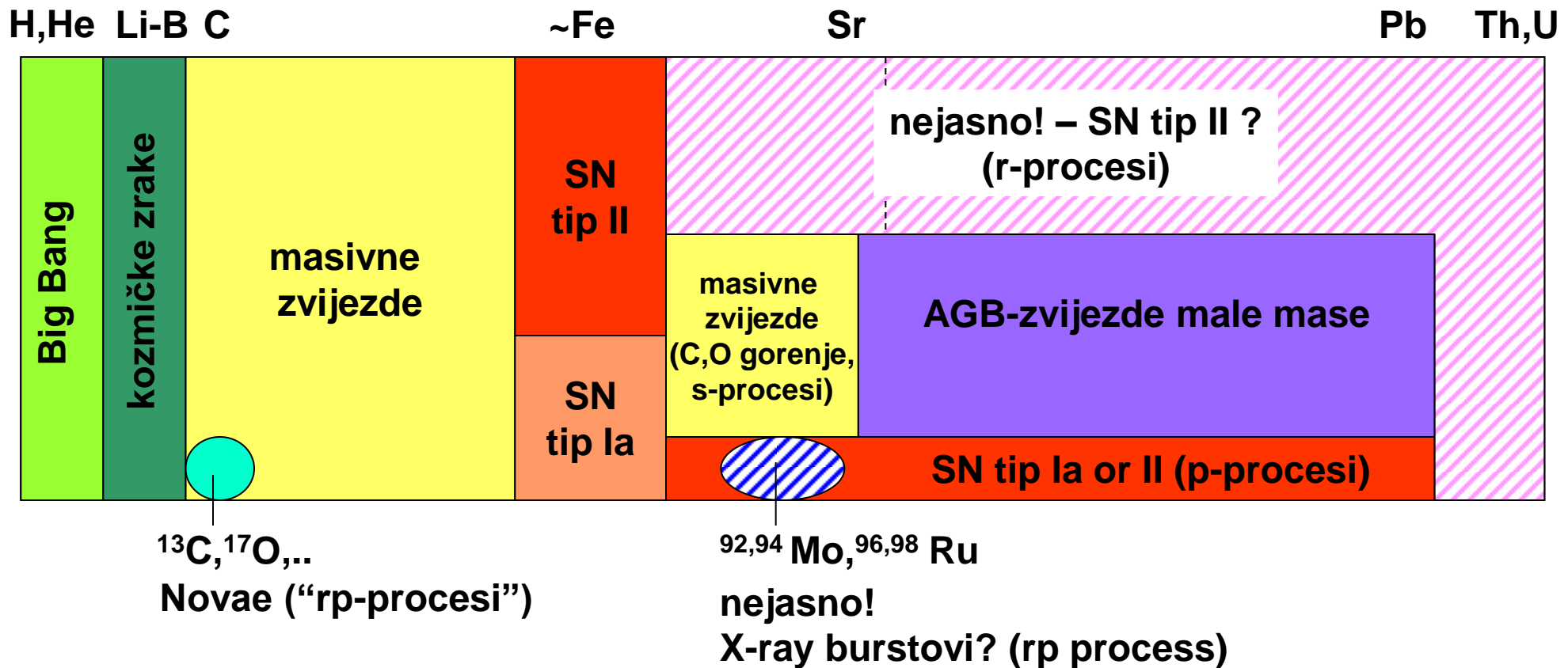
White dwarf star
 $T_9 \sim 0.1 - 0.4$, $M_\odot \sim 1$,
 $t \sim$ days

Neutron star
 $T_9 \sim 0.7 - 2$, $M_\odot \sim 1$,
 $t \sim 10$ sec

massive star
 $T_9 \sim 1$, $M_\odot \sim 10$,
 $t \sim$ sec



Porijeklo elemenata



Special: New Learning Series on Genetics, page 70

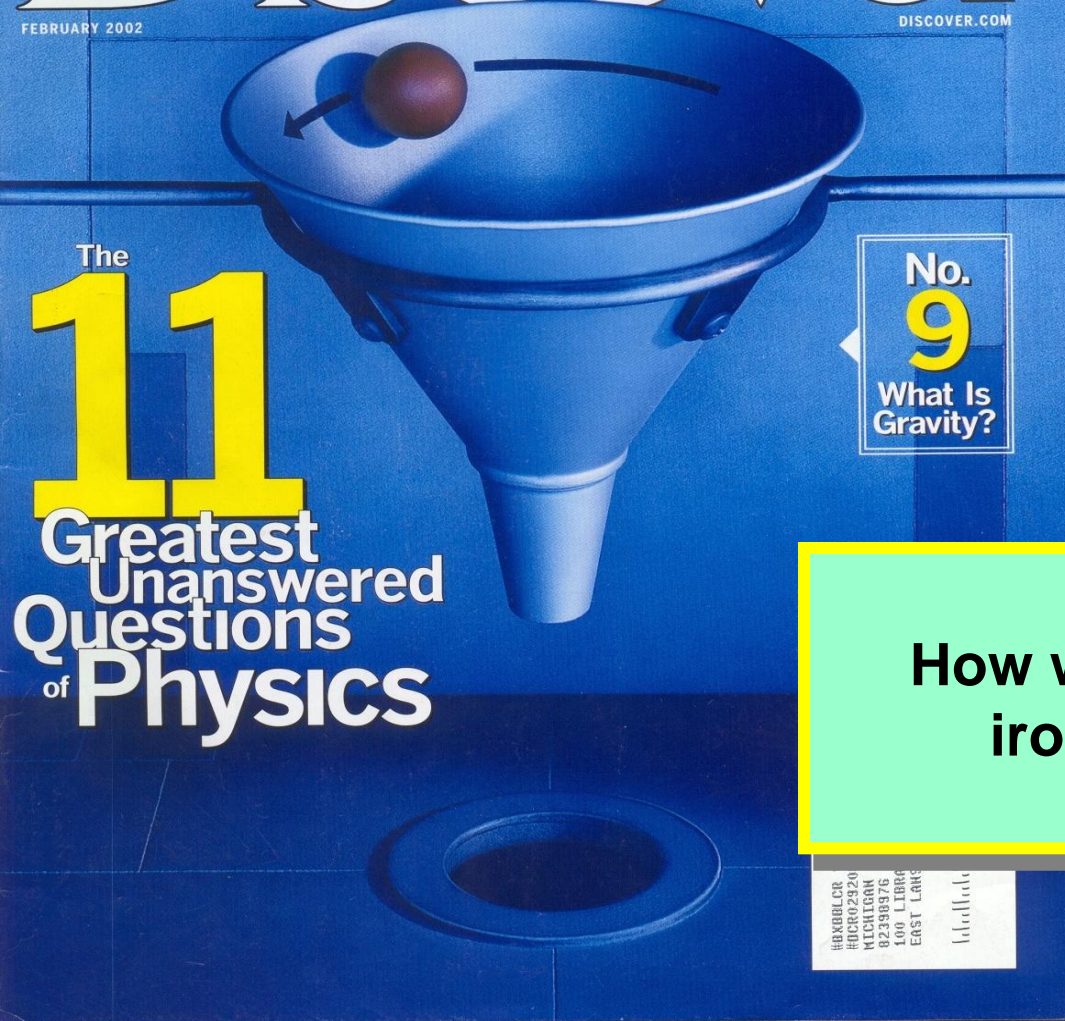
Complexity—the Science of Surprise | Your Inner Savant

VOL. 23, NO. 2

Discover

FEBRUARY 2002

DISCOVER.COM

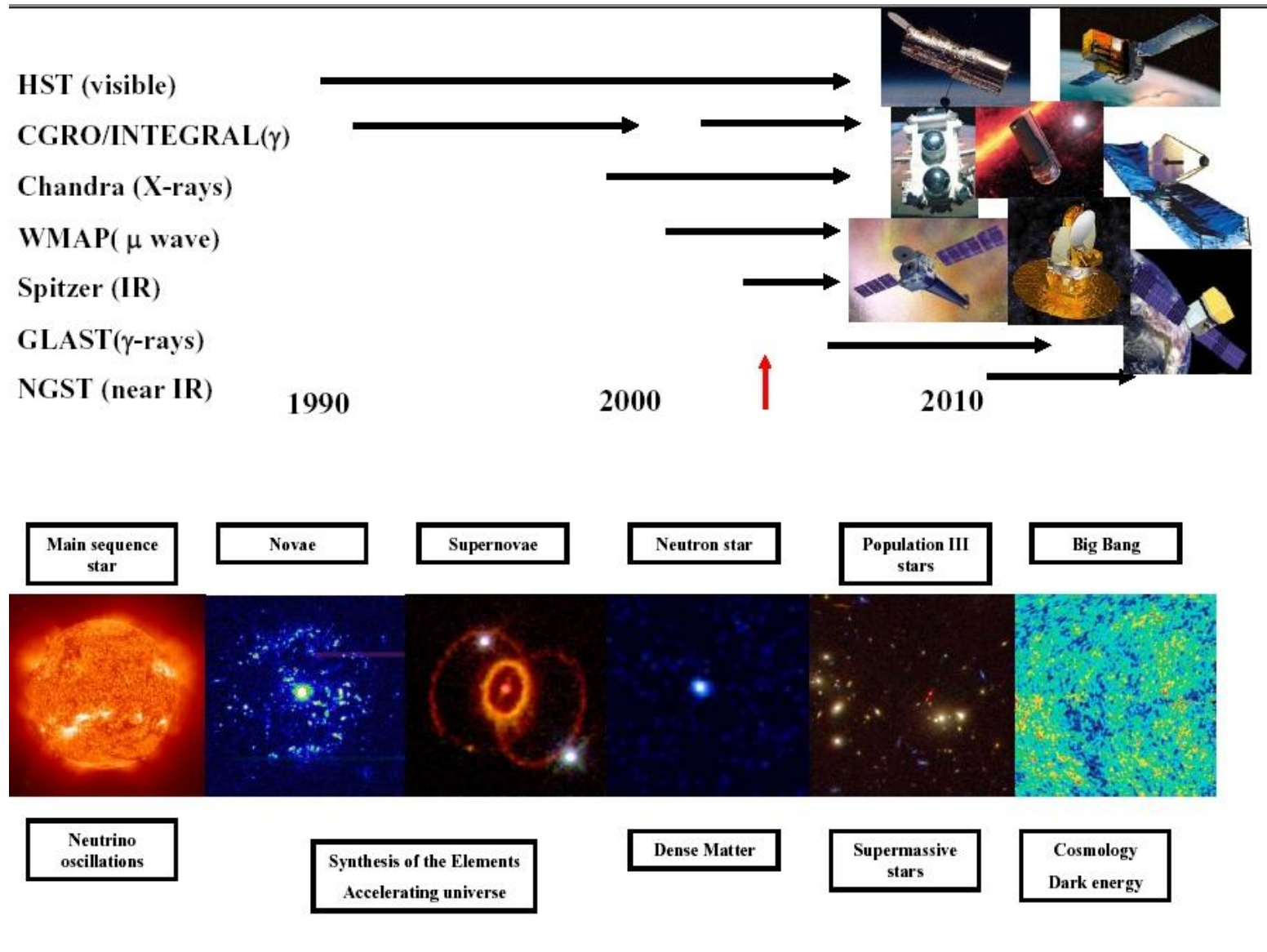


**Based on National Academy of
Science Report**

**[Committee for the Physics
of the Universe (CPU)]**

Question 3
**How were the elements from
iron to uranium made ?**

Post-festum



Zadatak 15. Izvedite izraz koji opisuje ovisnost tlaka i gustoće materije za bijele patuljke, te pomoću tog izraza riješite jednadžbe strukture za te zvijezde.

Rješenje 15. (početak izvoda jednak za sve zvijezde)

- prepostavljamo sferičnu simetriju
- prva jednadžba:

$$\frac{dM(r)}{dr} = 4\pi r^2 \rho(r)$$

- druga jednadžba (balans sila na dM):

$$dF_{tot} = dF_{grav} + dF_{tlak}$$

$$dF_{grav} = -\frac{GM(r)dM}{r^2}$$

Rješenje 15.

- dalje vrijedi:

$$dF_{tlak} = [P(r) - P(r + dr)] dS$$

$$dM = \rho dS dr$$

$$dF_{tot} = \ddot{r} dM$$

- \Rightarrow

$$\frac{dP}{dr} = -\frac{GM\rho}{r^2} - \rho \frac{d^2 r}{dt^2}$$

- u ravnoteži:

$$\boxed{\frac{dp(r)}{dr} = -\frac{GM(r)\rho(r)}{r^2}}$$

- dobili smo dvije jednadžbe s tri nepoznanice (M, ρ, P). Treba nam još jedna - "jednadžba stanja".

Rješenje 15.

- općenito, jednadžba stanja može uključivati nove varijable (temperaturu, sastav materijala, proizvodnju energije, ...) što vodi na potrebu za novim jednadžbama da bi do kraja definirali sistem
- za vrlo specijalan slučaj kada postoji jednostavna (politropska) relacija između tlaka i gustoće:

$$P = K\rho^{\Gamma} = K\rho^{1+1/n}$$

sistem jednadžba se može riješiti sljedećom procedurom:

- specificiramo $P(0)$ ili $r(0)$;
- integriramo prema van;
- u točki $r=R$ zahtijevamo $P(R)=0$.

Rješenje 15.

- imamo:

$$\begin{aligned} \frac{1}{r^2} \frac{d}{dr} \left(\frac{r^2}{\rho} \frac{dP}{dr} \right) &= \frac{1}{r^2} \frac{d}{dr} (-GM(r)) = \\ &= \frac{1}{r^2} \left(-G \frac{dM(r)}{dr} \right) = \\ &= -\frac{1}{r^2} G 4\pi r^2 \rho = \\ &= -4\pi G \rho \end{aligned} \tag{*}$$

- ansatz:

$$\rho(r) \equiv \rho(0) \Phi(\xi)^n \quad \xi \equiv r/a$$

$$a \equiv \left[\frac{(n+1)K\rho(0)^{(1-n)/n}}{4\pi G} \right]^{1/2}$$

Rješenje 15.

- rubni uvjeti postaju:

$$\Phi(0) = 1$$

$$\Phi(R/a) = 0$$

- a uvrštanjem u (*) dobiva se:

$$\frac{1}{\xi^2} \frac{d}{d\xi} \left(\xi^2 \frac{d\Phi}{d\xi} \right) = -\Phi^n$$

- to je tzv. Lane-Emdenova jednadžba i njena su rješenja tabelirana za neke vrijednosti n -a (ne nužno cjelobrojnog)
- rješenje za masu dano je s:

$$M(R) = -4\pi \left[\frac{(n+1)K}{4\pi G} \right]^{3/2} \rho^{(3-2n)/2n} \left(\xi^2 \frac{d\Phi}{d\xi} \right)_{\xi=\xi_1=R/a}$$

n	ξ_1	ρ_0	P_c	γ	T_0	U
		$\frac{M}{R^3}$	$\frac{GM^2}{R^4}$	$\frac{1}{MR^2}$	$\frac{GM\mu}{kR}$	$-\frac{GM^2}{R}$
0	$\sqrt{6}$	$\frac{15}{8\pi}$	$\frac{15}{16\pi}$	$\frac{2}{7}$	$\frac{1}{2}$	$\frac{5}{14}$
1	π	$\frac{\pi}{4}$	$\frac{\pi}{8}$	$\frac{2(\pi^2 - 6)}{3\pi^2}$	$\frac{1}{2}$	$\frac{3}{8}$
$\frac{3}{2}$	3.653					
2	4.353	1.12	0.55	0.24	0.49	0.40
$\frac{5}{2}$	5.355					
3	6.896	1.84	0.83	0.22	0.45	0.42
$\frac{7}{2}$	9.535					
4	14.97	4.16	1.48	0.21	0.36	0.44
$\frac{9}{2}$	31.83					
5	∞					

Rješenje 15.

- trošenjem goriva zvijezda se hlađi i sažima; na dovoljno malenoj temperaturi elektroni popunjavaju najniža moguća stanja (do Fermijevog nivoa):

$$n = \frac{8\pi}{(2\pi\hbar)^3} \int_0^{k_F} k^2 dk = \frac{k_F^3}{3\pi^2 \hbar^3}$$

- ako je μ omjer broja nukleona i elektrona, a m_N masa nukleona, vrijedi:

$$\rho = nm_N \mu$$

$$k_F = \hbar \left(\frac{3\pi^2 \rho}{m_N \mu} \right)^{1/3}$$

Rješenje 15.

- tlak plina dan je s:

$$\begin{aligned} P &= \frac{8\pi}{3(2\pi\hbar)^3} \int_0^{k_F} \frac{k^2}{\left(k^2 + m_e^2\right)^{1/2}} k^2 dk = \\ &= \frac{m_e^4}{3\pi^2 \hbar^3} \int_0^{k_F/m_e} \frac{u^4}{\left(1+u^2\right)^{1/2}} du = \\ &= \frac{m_e^4}{24\pi^2 \hbar^3} \left[\left(2u_0^3 - 3u_0\right) \left(1+u_0^2\right)^{1/2} + 3 \sinh^{-1} u_0 \right] \end{aligned}$$

- gdje je:

$$u_0 = k_F / m_e$$

Rješenje 15.

- točka kad je:

$$k_F = m_e$$

definira granicu između relativističke i nerelativističke materije kojoj odgovara granična gustoća:

$$\rho_c = \frac{m_N \mu}{3\pi^2} \left(\frac{m_e c^2}{\hbar c} \right)^3 = 0.97 \cdot 10^6 \mu \text{ g/cm}^2$$

- u limesu $\rho \ll \rho_c$ (nerelativistički limes), dobiva se:

$$P = \frac{8\pi}{3(2\pi\hbar)^3} \frac{1}{m_e} \frac{k_F^5}{5} = \frac{\hbar^2}{15\pi^2 m_e} \left(\frac{3\pi^2 \rho}{m_N \mu} \right)^{5/3}$$

Rješenje 15.

- u limesu $\rho \gg \rho_c$ (ultra-relativistički limes), dobiva se:

$$P = \frac{8\pi}{3(2\pi\hbar)^3} \frac{k_F^4}{4} = \frac{\hbar}{12\pi^2} \left(\frac{3\pi^2 \rho}{m_N \mu} \right)^{4/3}$$

Rješenje 15.

- degenerirarni ne-relativistički elektronski plin:

$$P = K \rho^{5/3} \Rightarrow n = 1.5$$

$$M = \frac{2.72}{\mu^2} \left(\frac{\rho(0)}{\rho_c} \right)^{1/2} M_0$$

$$R = \frac{2 \cdot 10^4}{\mu} \left(\frac{\rho(0)}{\rho_c} \right)^{-1/6} \text{ km}$$

- vrijedi za bijele patuljke male mase

Rješenje 15.

- degeneirarni ultra-relativistički elektronski plin:

$$P = K\rho^{4/3} \Rightarrow n = 3$$

$$M = \frac{5.87}{\mu^2} M_0$$

$$R = \frac{5.3 \cdot 10^4}{\mu} \left(\frac{\rho(0)}{\rho_c} \right)^{-1/3} \text{ km}$$

- vrijedi za bijele patuljke velike mase
- zaključak - postoji maksimalna masa za stabilnost hladnih bijelih patuljaka i ona je jednaka:

$$M = \frac{5.87}{\mu^2} M_0$$